

MATLAB Programming for Virtual Element Methods

1	二维网格剖分与预处理	3
1.1	网格的数据结构及图示	3
1.1.1	基本数据结构	3
1.1.2	补片函数 patch	4
1.1.3	操作 cell 数组的 cellfun 函数	5
1.1.4	showmesh 函数的建立	6
1.1.5	showsolution 函数的建立	7
1.2	Generation of the polygonal meshes	10
1.3	网格的标记	10
1.3.1	节点标记	10
1.3.2	单元标记	11
1.3.3	边的标记	12
1.4	VEM 空间的辅助数据结构与几何量	16
1.4.1	elem2edge 的生成	17
1.4.2	edge2elem 的生成	19
1.4.3	neighbor 的生成	22
1.5	网格相关的几何量	22
1.6	auxstructure 与 auxgeometry 函数	23
1.7	边界设置	25
1.7.1	边界边的定向	25
1.7.2	边界的设置	26
2	Poisson 方程的一阶虚拟元方法	29
2.1	变分问题	29
2.2	过渡矩阵 D	30
2.3	椭圆投影在基下的矩阵	31
2.3.1	椭圆投影定义的向量形式	31
2.3.2	可计算性	32
2.3.3	投影限制条件	34
2.4	L^2 投影在基下的矩阵	35
2.4.1	矩阵表示	35

2.4.2	可计算性	36
2.5	Poisson 方程一阶 VEM 程序	39
2.5.1	问题描述	39
2.5.2	单元刚度矩阵的计算	40
2.5.3	单元载荷向量的计算	40
2.5.4	刚度矩阵与载荷向量的装配	42
2.5.5	边界条件的处理	45
2.5.6	程序整理	46
3	线弹性边值问题的一阶虚拟元方法	51
3.1	线弹性边值问题简介	51
3.1.1	问题说明	51
3.1.2	连续变分问题	51
3.1.3	近似变分形式 I	53
3.1.4	近似变分形式 II	53
3.2	刚度矩阵和载荷向量的装配	54
3.2.1	矩阵分析法	54
3.2.2	sparse 装配指标	55
3.3	变分形式 I: 位移型	57
3.3.1	过渡矩阵	57
3.3.2	椭圆投影	58
3.3.3	L^2 投影	60
3.3.4	单元刚度矩阵和载荷向量的计算	62
3.3.5	程序整理	63
3.4	变分形式 II: 张量型	65
3.4.1	椭圆投影的定义	65
3.4.2	椭圆投影的计算	67
3.4.3	程序整理	68

1 二维网格剖分与预处理

1.1 网格的数据结构及图示

1.1.1 基本数据结构

我们采用 Chen Long 有限元工具箱 iFEM 中给出的数据结构, 用 node 表示节点坐标, elem 表示单元的连通性, 即单元顶点编号. 例如考虑下图中 L 形区域的一个简单剖分 (对一般的多角形剖分类似). 可参考网页说明:

<https://www.math.uci.edu/~chenlong/ifemdoc/mesh/meshbasicdoc.html>

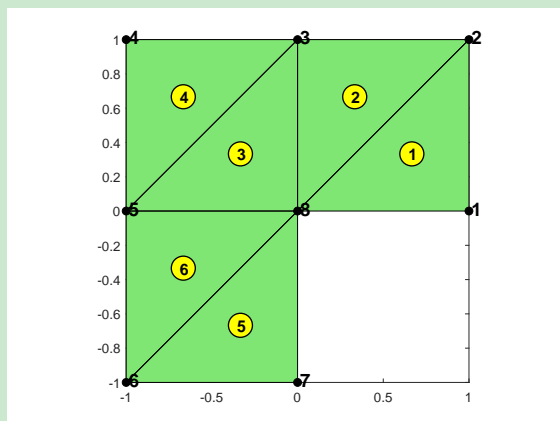


图 1. L 形区域的剖分

1. 数组 node: 节点坐标

在编程中我们需要每个节点的坐标, 用 node 记录, 它是两列的一个矩阵, 第一列表示各节点的横坐标, 第二列表示各节点的纵坐标, 行的索引对应节点标号. 图中给出的顶点坐标信息如下

8x2 double		
	1	2
1	1	0
2	1	1
3	0	1
4	-1	1
5	-1	0
6	-1	-1
7	0	-1
8	0	0

这里左侧的序号对应节点的整体编号.

2. 数组 elem: 连通性 (局部整体对应)

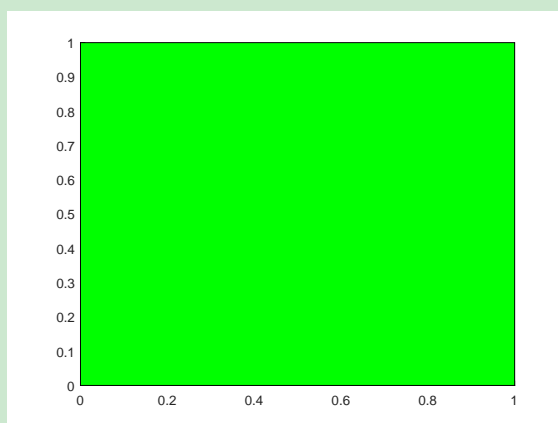
数组 elem 给出每个三角形的顶点编号, 它给出的是单元的连通性信息, 每行对应一个单元.

6x3 double			
	1	2	3
1	1	2	8
2	3	8	2
3	8	3	5
4	4	5	3
5	7	8	6
6	5	6	8

图中第一列表示所有三角形的第一个点的编号, 第二列表示第二个点的编号, 依此类推. 注意三角形顶点的顺序符合逆时针定向. elem 是有限元编程装配过程中的局部整体对应。

1.1.2 补片函数 patch

我们要画出每个单元, 对三角形单元 MATLAB 有专门的命令, 对多边形我们需要采用补片函数 patch. 实际上三角剖分采用的也是 patch, 为此以下只考虑 patch. 以下只考虑二维区域剖分的图示, 命名为 showmesh.m. 一个简单的例子如下图



可如下编程

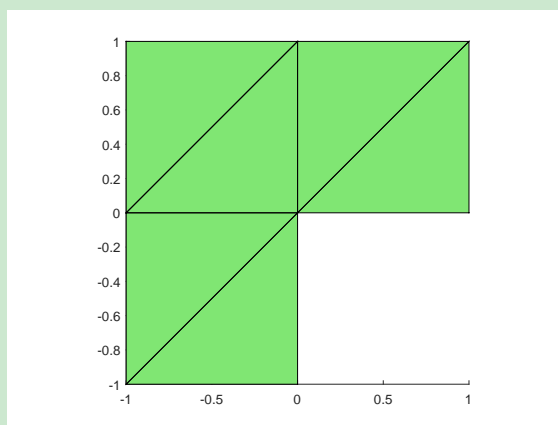
```
node = [0 0; 1 0; 1 1; 0 1];
elem = [1 2 3 4];
patch('Faces',node,'Vertices',elem,'FaceColor','g')
```

对多个相同类型的单元, 如下

```
1 function showmesh(node,elem)
2 h = patch('Faces',elem, 'Vertices', node);
3 set(h, 'facecolor',[0.5 0.9 0.45], 'edgecolor','k');
4 axis equal; axis tight;
```

例 1.1 (三角剖分) 对前面的梯形区域可如下调用 showmesh 函数

```
1 node = [1,0; 1,1; 0,1; -1,1; -1,0; -1,-1; 0,-1; 0,0];
2 elem = [1,2,8; 3,8,2; 8,3,5; 4,5,3; 7,8,6; 5,6,8];
3 showmesh(node,elem);
```

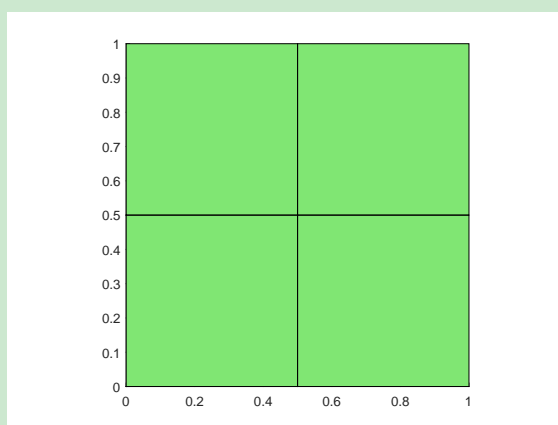


例 1.2 (四边形剖分) 对矩形区域的四边形剖分可如下调用 `showmesh` 函数

```

1 [X,Y] = ndgrid(0:0.5:1,0:0.5:1);
2 node = [X(:), Y(:)];
3 elem = [1 2 5 4; 2 3 6 5; 4 5 8 7; 5 6 9 8];
4 showmesh(node,elem)

```



1.1.3 操作 cell 数组的 `cellfun` 函数

对含有不同多角形剖分的区域, 因每个单元顶点数不同, `elem` 一般以 cell 数组存储. 为了使用 `patch` 画图 (不用循环语句逐个), 我们需要将 `elem` 的每个 cell 填充成相同维数的向量, 填充的值为 NaN, 它不会起作用. 我们先介绍 MATLAB 中操作 cell 数组的函数 `cellfun`. 例如, 考虑下面的例子

例 1.3 计算 cell 数组中元素的平均值和维数

```

1 C = {1:10, [2; 4; 6], []};
2 averages = cellfun(@mean, C)
3 [nrows, ncols] = cellfun(@size, C)
4
5 % 结果为 averages = 5.5000    4.0000    NaN
6 %           nrows = 1  3  0,    ncols = 10  1  0

```

`cellfun` 的直接输出规定为数值数组, 如果希望输出的可以是其他类型的元素, 那么需要指定 `UniformOutput` 为 `false`, 例如

例 1.4 对字符进行缩写

```

1 days = {'Monday', 'Tuesday', 'Wednesday', 'Thursday', 'Friday'};
2 abbrev = cellfun(@(x) x(1:3), days, 'UniformOutput', false)

```

正因为此时输出类型可以任意, MATLAB 默认仍保存为 cell 类型. 上面的结果为

```

abbrev =
1×5 cell array
    {'Mon'}    {'Tue'}    {'Wed'}    {'Thu'}    {'Fri'}

```

1.1.4 showmesh 函数的建立

现在考虑下图所示的剖分

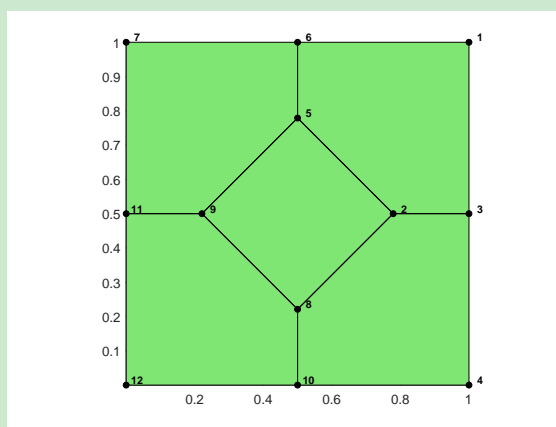


图 2. 多边形网格

相关的网格数据保持在 meshex1.mat 中. 程序如下

```

1 load('meshex1.mat'); % node, elem
2
3 max_n_vertices = max(cellfun(@length, elem));
4 % function to pad the vacancies ( 横向拼接 )
5 padding_func = @(vertex_ind) [vertex_ind,...
6     NaN(1,max_n_vertices-length(vertex_ind))];
7 tpad = cellfun(padding_func, elem, 'UniformOutput', false);
8 tpad = vertcat(tpad{:});
9 h = patch('Faces', tpad, 'Vertices', node);
10 set(h, 'facecolor', [0.5 0.9 0.45], 'edgecolor', 'k');
11 axis equal; axis tight;

```

最终给出的 showmesh 函数如下

CODE 1. showmesh.m (2D 网格画图)

```

1 function showmesh(node,elem)
2 %Showmesh displays a mesh in 2-D.
3
4 if ~iscell(elem)
5     h = patch('Faces', elem, 'Vertices', node);
6

```

```

7 else
8     max_n_vertices = max(cellfun(@length, elem));
9     padding_func = @(vertex_ind) [vertex_ind,...
10         NaN(1,max_n_vertices-length(vertex_ind))]; % function to pad the ...
11         vacancies
12     tpad = cellfun(padding_func, elem, 'UniformOutput', false);
13     tpad = vertcat(tpad{:});
14     h = patch('Faces', tpad, 'Vertices', node);
15 end
16 set(h,'facecolor',[0.5 0.9 0.45],'edgecolor','k');
17 axis equal; axis tight;

```

1.1.5 showsolution 函数的建立

程序如下

```

1 function showsolution(node,elem,u)
2 %Showsolution displays the solution corresponding to a mesh given by ...
3     [node,elem] in 2-D.
4
5 data = [node,u];
6 patch('Faces', elem,...
7     'Vertices', data,...
8     'FaceColor', 'interp',...
9     'CData', u / max(abs(u)) );
10 axis('square');
11 sh = 0.05;
12 xlim([min(node(:,1)) - sh, max(node(:,1)) + sh])
13 ylim([min(node(:,2)) - sh, max(node(:,2)) + sh])
14 zlim([min(u) - sh, max(u) + sh])
15 xlabel('x'); ylabel('y'); zlabel('u');
16 view(3); grid on; % view(150,30);

```

我们来说明一下.

- patch 也可以画空间中的直面, 此时只要把 'Vertices' 处的数据换为三维的顶点坐标.
- 对解 u , 显然 $\text{data} = [\text{node}, u]$ 就是我们画图需要的三维点坐标.
- patch 后的

```
'FaceColor', 'interp', 'CData', u / max(abs(u))
```

是三维图形的颜色, 它根据 'CData' 数据进行插值获得 (不对颜色进行设置, 默认为黑色). 也可以改为二维的

```
set(h,'facecolor',[0.5 0.9 0.45],'edgecolor','k');
```

此时显示的只是一种颜色, 对解通常希望有颜色的变化.

- 需要注意的是, 即便是三维数据, 若不加最后的

```
view(3); grid on; %view(150,30);
```

给出的也是二维图 (投影, 即二维剖分图).

当然上面的程序也可改为适合多角形剖分的, 如下

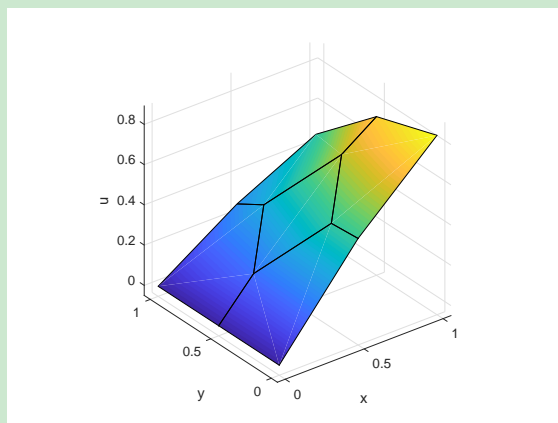
CODE 2. showsolution.m

```
1 function showsolution(node,elem,u)
2 %Showsolution displays the solution corresponding to a mesh given by ...
   [node,elem] in 2-D.
3
4 data = [node,u];
5 if ~iscell(elem)
6     patch('Faces', elem,...
7         'Vertices', data,...
8         'FaceColor', 'interp',...
9         'CData', u / max(abs(u)) );
10 else
11     max_n_vertices = max(cellfun(@length, elem));
12     padding_func = @(vertex_ind) [vertex_ind,...
13         NaN(1,max_n_vertices-length(vertex_ind))]; % function to pad the ...
        vacancies
14     tpad = cellfun(padding_func, elem, 'UniformOutput', false);
15     tpad = vertcat(tpad{:});
16     patch('Faces', tpad,...
17         'Vertices', data,...
18         'FaceColor', 'interp',...
19         'CData', u / max(abs(u)) );
20 end
21 axis('square');
22 sh = 0.05;
23 xlim([min(node(:,1)) - sh, max(node(:,1)) + sh])
24 ylim([min(node(:,2)) - sh, max(node(:,2)) + sh])
25 zlim([min(u) - sh, max(u) + sh])
26 xlabel('x'); ylabel('y'); zlabel('u');
27
28 view(3); grid on; % view(150,30);
```

例 1.5 例如, 可如下画 $u(x,y) = \sin x \cos y$ 的图像

```
1 load('meshex1.mat');
2 x = node(:,1); y = node(:,2); u = sin(x).*cos(y);
3 showsolution(node,elem,u);
```

结果如下



注 1.1 可以看到, showmesh 与 showsolution 唯一不同的地方就是添加

```
view(3); grid on; %view(150,30);
```

三维网格的单元是多面体, 我们一般也是逐个面画图, 此时可在 showmesh 下添加上面的语句. 修改后的 showmesh 如下 (画图时三维的 elem 要存储为面)

CODE 3. showmesh.m

```
1 function showmesh(node,elem)
2 %Showmesh displays a mesh in 2-D and 3-D.
3
4 if ~iscell(elem)
5     h = patch('Faces', elem, 'Vertices', node);
6 else
7     max_n_vertices = max(cellfun(@length, elem));
8     padding_func = @(vertex_ind) [vertex_ind,...
9         NaN(1,max_n_vertices-length(vertex_ind))]; % function to pad the ...
10         vacancies
11     tpad = cellfun(padding_func, elem, 'UniformOutput', false);
12     tpad = vertcat(tpad{:});
13     h = patch('Faces', tpad, 'Vertices', node);
14 end
15 dim = size(node,2);
16 if dim==3
17     view(3); set(h,'FaceAlpha',0.4); % 透明度
18 end
19
20 set(h,'facecolor',[0.5 0.9 0.45],'edgecolor','k');
21 axis equal; axis tight;
```

显然, 用该函数也可画解的图像

```
1 load('meshex1.mat');
2 x = node(:,1); y = node(:,2); u = sin(x).*cos(y);
3 % show the solution by using showmesh
4 data = [node,u];
5 showmesh(data,elem);
```

结果一致, 只不过图像的颜色是单一的罢了. 为了方便, 我们单独建立了 showsolution 函数.

1.2 Generation of the polygonal meshes

The MATLAB tool, PolyMesher, is applied to generate the polygonal meshes, and to obtain the basic data structure: node and elem. All M-files with slight changes are placed in the following folder directory: `~/program/PolyMesherModified`. One only needs to run the mesh generation function meshfun.m in the tool folder, which is displayed as follows:

CODE 4. meshfun.m

```
1 %Meshfun: generate basic data structure (node, elem) representing meshes
2
3 % ----- Useage -----
4 % Preserved as meshdata.mat
5 % load('meshdata.mat') to load basic data structure: node, elem
6 % -----
7
8 clc;clear;close all
9 addpath(genpath(pwd)); % Include all folders under the current path
10
11 % ----- Choices of the domain -----
12 % Options: Rectangle_Domain, Circle_Domain, Upper_Circle_Domain,
13 % Upper_Circle_Circle_Domain, Rectangle_Circle_Domain, Circle_Circle_Domain
14 Domain = @Rectangle_Domain;
15 NElem = 5; MaxIter = 300;
16 [node,elem]= PolyMesher(Domain,NElem,MaxIter);
17
18 % ----- Plot the mesh -----
19 showmesh(node,elem);
20 findnode(node);
21
22 % ----- Save the mesh data -----
23 save meshdata node elem
```

1.3 网格的标记

1.3.1 节点标记

可如下给出图 2 中的节点编号

```
1 load('meshex1.mat');
2 showmesh(node,elem);
3 findnode(node);
```

函数文件如下

CODE 5. findnode.m

```
1 function findnode(node,range)
2 %Findnode highlights nodes in certain range.
3
4 hold on
5 dotColor = 'k.';
```

```

6 if nargin==1
7     range = (1:size(node,1))';
8 end
9 plot(node(range,1),node(range,2),dotColor, 'MarkerSize', 15);
10 shift = [0.015 0.015];
11 text(node(range,1)+shift(1),node(range,2)+shift(2),int2str(range), ...
12     'FontSize',8,'FontWeight','bold'); % show index number
13 hold off

```

注 1.2 当然也可改为适用于三维情形, 这里略, 见 GitHub 上传程序 (tool 文件夹内).

1.3.2 单元标记

现在标记单元. 我们需要给出单元的重心, 从而标记序号. 重心的计算后面说明.

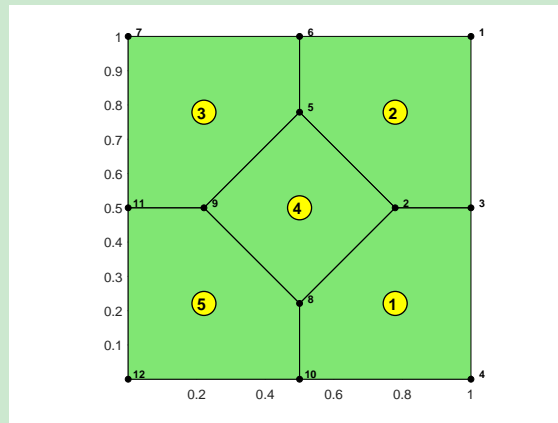


图 3. Polygonal mesh

主程序如下

```

1 load('meshex1.mat');
2 showmesh(node,elem);
3 findnode(node);
4 findelem(node,elem);

```

标记单元的函数如下

CODE 6. findelem.m

```

1 function findelem(node,elem,range)
2 %Findelem highlights some elements
3
4 hold on
5
6 if nargin==2
7     range = (1:size(elem,1))';
8 end
9
10 center = zeros(length(range),2);
11 s = 1;
12 for iel = range(1):range(end)

```

```

13     if iscell(elem)
14         index = elem{iel};
15     else
16         index = elem(iel,:);
17     end
18     verts = node(index, :); verts1 = verts([2:end,1],:);
19     area_components = verts(:,1).*verts1(:,2)-verts1(:,1).*verts(:,2);
20     area = 0.5*abs(sum(area_components));
21     center(s,:) = sum((verts+verts1).*repmat(area_components,1,2))/(6*area);
22     s = s+1;
23 end
24
25 plot(center(:,1),center(:,2),'o','LineWidth',1,'MarkerEdgeColor','k',...
26      'MarkerFaceColor','y','MarkerSize',18);
27 text(center(:,1)-0.02,center(:,2),int2str(range),'FontSize',12,...
28      'FontWeight','bold','Color','k');
29
30 hold off

```

注 1.3 这里用圆圈标记单元, 对不同的剖分, 圆圈内的数字不一定在合适的位置, 需要手动调整. 为了方便, 可直接用红色数字标记单元序号.

1.3.3 边的标记

Chen L 在如下网页

<https://www.math.uci.edu/~chenlong/ifemdoc/mesh/auxstructuredoc.html>

中给出了一些辅助网格数据结构 (三角剖分), 其中的 `edge` 就是记录每条边的顶点编号 (去除重复边). 以下设 `NT` 表示三角形单元的个数, `NE` 表示边的个数 (不重复). 我们简单说明一下那里的思路.

- 只要给出每条边两端的节点编号. 内部边在 `elem` 中会出现两次, 边界边只会出现一次, 我们可用 2 标记内部边, 1 标记边界边.
- 内部边在 `elem` 中会出现两次, 但它们是同一条边. 为了给定一致的标记, 我们规定每条边起点的顶点编号小于终点的顶点编号, 即 $\text{edge}(k, 1) < \text{edge}(k, 2)$.
- 规定三角形的第 i 条边对应第 i 个顶点 (不是必须的, 这个规定有利于网格二分程序的实现), 例如, 设第 1 个三角形顶点顺序为 [1,4,5], 那么边的顺序应是 4-5, 5-1, 1-4. 在 MATLAB 中, 有如下对应

```

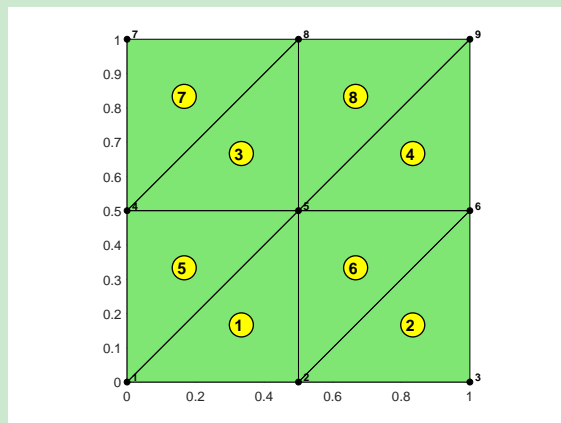
所有单元的第 1 条边: elem(:, [2,3]); % NT * 2
所有单元的第 2 条边: elem(:, [3,1]); % NT * 2
所有单元的第 3 条边: elem(:, [1,2]); % NT * 2

```

为了满足 $\text{edge}(k, 1) < \text{edge}(k, 2)$, 可对以上每个矩阵按行进行排列 (每行的两个元素进行比较). 在 MATLAB 中用 `sort(A, 2)` 实现. 把这些边逐行排在一起, 则所有的边 (包含重复) 为

```
totalEdge = sort([elem(:, [2,3]); elem(:, [3,1]); elem(:, [1,2])], 2);
```

它是 $3NT \times 2$ 的矩阵. `totalEdge` 见下面的右图.



	1	2
1	1	5
2	2	6
3	4	8
4	5	9
5	1	5
6	2	6
7	4	8
8	5	9
9	1	2
10	2	3
11	4	5
12	5	6
13	4	5
14	5	6
15	7	8
16	8	9
17	2	5
18	3	6
19	5	8
20	6	9
21	1	4
22	2	5
23	4	7
24	5	8

- 在 MATLAB 中, `sparse` 有一个特殊的性质 (summation property), 当某个位置指标出现两次, 则相应的值会相加. 这样, 使用如下命令 (`sparse(i,j,s)`, 若 s 为固定常数, 直接写常数即可)

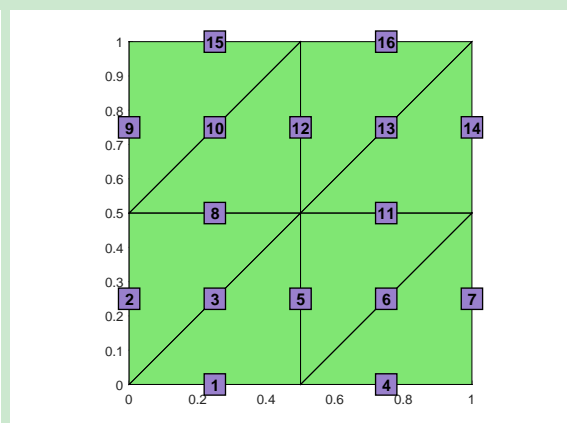
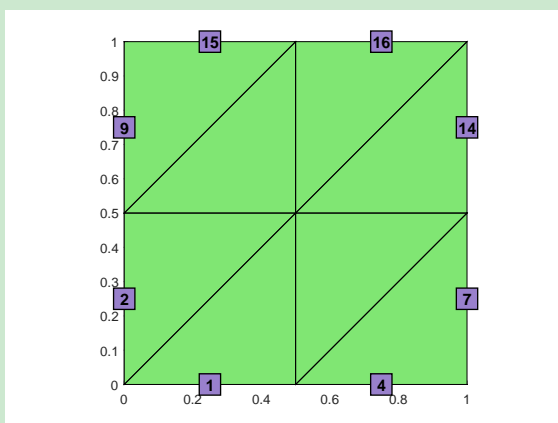
```
sparse(totalEdge(:,1),totalEdge(:,2),1)
```

1-5 边对应的位置 (1,5) 的值就是 2, 而 1-2 对应的位置 (1,2) 为 1, 即重复边的都是 2, 不重复的为 1. 用 `find` 可找到所有非零元素的位置及相应的值 (非零元素只有 1 和 2, 对应边界边和内部边). 显然, `sparse` 命令产生的矩阵, 第一行对应起点 1 的边, 第二行对应起点 2 的边, 等等.

- 我们希望按下列方式排列边: 先找到所有起点为 1 的边, 再找所有起点为 2 的边, 等等. 由于 `find` 是按列找非零元素, 因此我们要把上一步的过程如下修改 (转置)

```
sparse(totalEdge(:,2),totalEdge(:,1),1)
```

这样, 第一列对应的是起点为 1 的边, 第二列对应的是起点为 2 的边.



综上, 我们可如下标记边界边或所有的边

```
1 % ----- edge -----
2 [node,elem] = squaremesh([0 1 0 1],0.5);
3 figure, % boundary edges
4 showmesh(node,elem);
5 bdInd = 1;
```

```

6 findedgeTr(node,elem,bdInd);
7 figure, % all edges
8 showmesh(node,elem);
9 findedgeTr(node,elem);

```

函数文件如下

```

1 function findedgeTr(node,elem,bdInd)
2 %FindedgeTr highlights edges for triangulation
3 % bdEdge = 1; % boundary edge;
4 % other cases: all edges
5
6 hold on
7 % ----- edge matrix -----
8 totalEdge = sort([elem(:,[2,3]); elem(:,[3,1]); elem(:,[1,2])],2);
9 [i,j,s] = find(sparse(totalEdge(:,2),totalEdge(:,1),1));
10 edge = [j,i];
11 % bdEdge = edge(s==1,:);
12
13 % ----- range -----
14 if nargin==2 || bdInd~=1
15     range = (1:size(edge,1))'; % all edges
16 else
17     range = find(s==1); % boundary edges
18 end
19
20 % ----- edge index -----
21 midEdge = (node(edge(range,1),:)+node(edge(range,2),:))/2;
22 plot(midEdge(:,1),midEdge(:,2),'s','LineWidth',1,'MarkerEdgeColor','k',...
23     'MarkerFaceColor',[0.6 0.5 0.8],'MarkerSize',20);
24 text(midEdge(:,1)-0.025,midEdge(:,2),int2str(range), ...
25     'FontSize',12,'FontWeight','bold','Color','k');

```

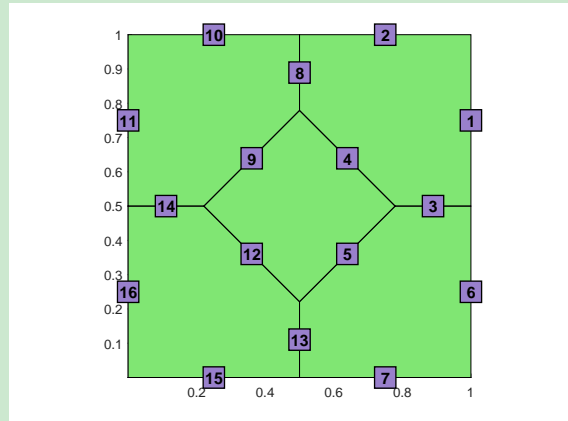
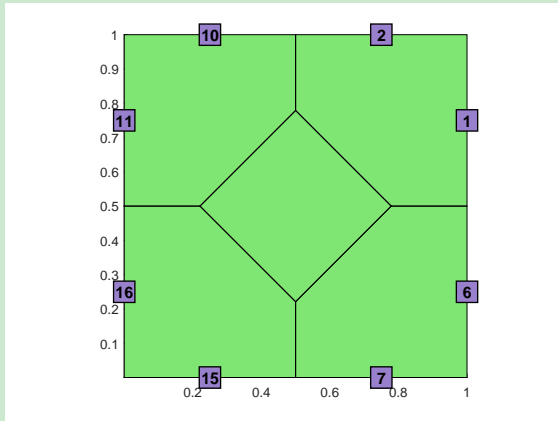
注意因为前面进行了转置, `edge = [j,i]`.

上面的思想也可用于多角形剖分, 只不过因边数不同, 要逐个单元存储每条边. 图 3 中第 1 个单元的顶点顺序为 [8,10,4,3,2], 我们按顺序 8-10, 10-4, 4-3, 3-2, 2-8 给出单元的边的标记. 所有边的起点就是 `elem` 中元素按列拉直给出的结果, 而终点就是对 [10,4,3,2,8] 这种循环的结果拉直. 可如下实现

```

1 % the starting points of edges
2 v0 = horzcat(elem{:})';
3
4 % the ending points of edges
5 shiftfun = @(verts) [verts(2:end),verts(1)];
6 T1 = cellfun(shiftfun, elem, 'UniformOutput', false);
7 v1 = horzcat(elem{:})';

```



其他过程与三角剖分一致. 如下运行

```
1 % ----- edge (polygonal meshes) -----
2 load('meshex1.mat');
3 figure, % boundary edges
4 showmesh(node,elem);
5 bdInd = 1;
6 findedge(node,elem,bdInd)
7 figure, % all edges
8 showmesh(node,elem);
9 findedge(node,elem)
```

函数文件如下

CODE 7. findedge.m

```
1 function findedge(node,elem,bdInd)
2 %Findedge highlights edges
3 % bdEdge = 1; % boundary edge;
4 % other cases: all edges
5
6 hold on
7 % ----- edge matrix -----
8 if iscell(elem)
9     shiftfun = @(verts) [verts(2:end),verts(1)];
10    T1 = cellfun(shiftfun, elem, 'UniformOutput', false);
11    v0 = horzcat(elem{:})'; % the starting points of edges
12    v1 = horzcat(T1{:})'; % the ending points of edges
13    totalEdge = sort([v0,v1],2);
14 else
15    totalEdge = sort([elem(:,[2,3]); elem(:,[3,1]); elem(:,[1,2])],2);
16 end
17 [i,j,s] = find(sparse(totalEdge(:,2),totalEdge(:,1),1));
18 edge = [j,i];
19 % bdEdge = edge(s==1,:);
20
21 % ----- range -----
22 if nargin==2 || bdInd~=1
23     range = (1:size(edge,1))'; % all edges
```

```

24 else
25     range = find(s==1); % boundary edges
26 end
27
28 % ----- edge index -----
29 midEdge = (node(edge(range,1),:)+node(edge(range,2),:))/2;
30 plot(midEdge(:,1),midEdge(:,2),'s','LineWidth',1,'MarkerEdgeColor','k',...
31      'MarkerFaceColor',[0.6 0.5 0.8],'MarkerSize',20);
32 text(midEdge(:,1)-0.025,midEdge(:,2),int2str(range), ...
33      'FontSize',12,'FontWeight','bold','Color','k');

```

注 1.4 如果只是单纯生成 edge 矩阵, 那么也可如下

```
edge = unique(totalEdge,'rows');
```

unique 的速度要比前面给出的方式慢, 但后者方式可以用来生成对应单元的边界, 命名为 elem2edge, 它在计算中更重要.

1.4 VEM 空间的辅助数据结构与几何量

网格中有许多数据在计算中很有用, 例如边的标记、单元的直径、面积等. 参考 iFEM 的相关内容, 见网页

<https://www.math.uci.edu/~chenlong/ifemdoc/mesh/auxstructuredoc.html>

本节针对一般的多三角形剖分给出需要的数据结构与几何量.

我们的数据结构包括

表 1. 数据结构

node, elem	基本数据结构
elem2edge	边的自然序号 (单元存储)
edge	一维边的端点标记
bdEdge	边界边的端点标记
edge2elem	边的左右单元
neighbor	目标单元边的相邻单元

1.4.1 elem2edge 的生成

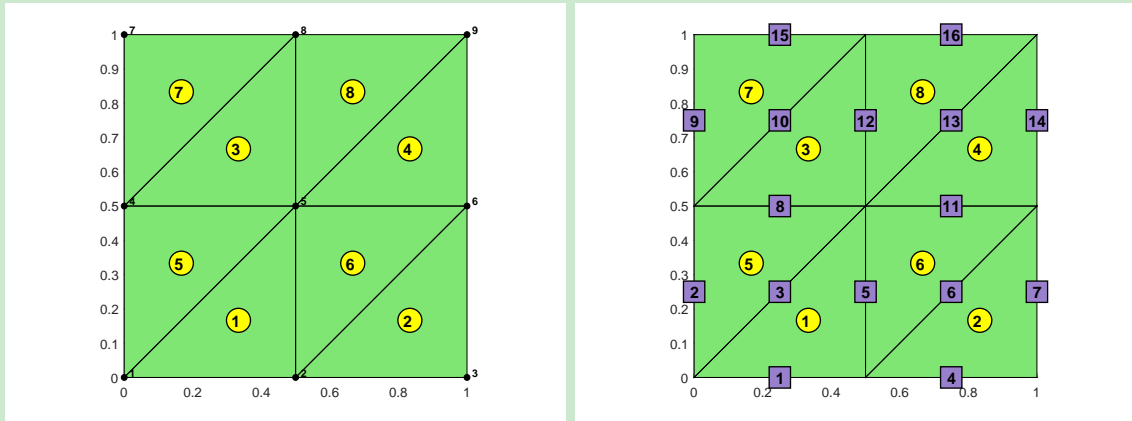


图 4. 三角剖分边的自然序号

考虑图 4 中给出的三角剖分, 我们说明一下 iFEM 中的思路.

- 根据前面的说明, 我们可给出含重复边的数组 totalEdge 见图 5(a).

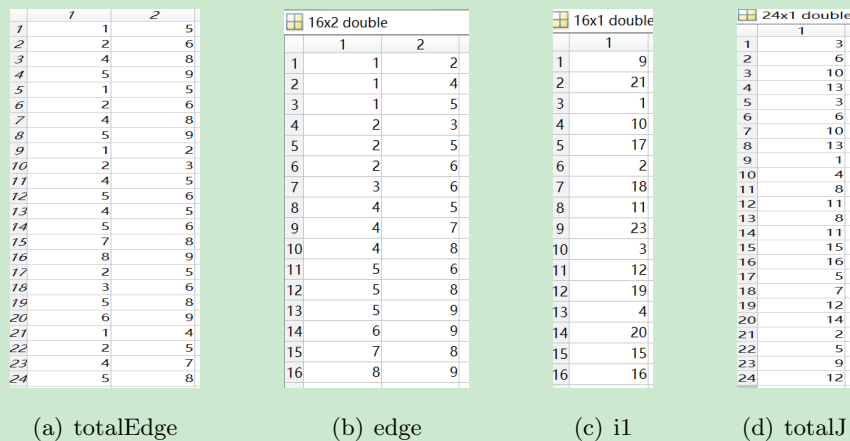


图 5. elem2edge 图示

- 如下可去除重复的行, 即重复的边 (重复边一致化才能使用)

```
[edge, i1, totalJ] = unique(totalEdge, 'rows');
```

这里, edge 是 $NE \times 2$ 的矩阵, 对应边的集合, 注意 unique 会按第一列从小到大给出边 (相应地第二列也进行了排序), 见图 5(b).

i1 是 $NE \times 1$ 的数组, 它记录 edge 中的每条边在原来的 totalEdge 的位置 (重复的按第一次出现记录). 比如, 上面的 1-5 边, 第一次出现的序号是 1, 则 i1 第一个元素就是 1.

totalJ 记录的是 totalEdge 的每条边在 edge 中的自然序号. 比如, 1-5 在 edge 中是第 3 个, 则 totalEdge 的所有 1-5 边的序号为 3.

- 只要把 totalJ 恢复成三列即得所有三角形单元边的自然序号, 这是因为 totalEdge 排列的规则是: 前 NT 行对应所有单元的第 1 条边, 中间 NT 行对应第 2 条边, 最后 NT 行对应第 3 条边. 综上, 可如下获取 elem2edge.

```

1 % ----- elem2edge (triangulation) -----
2 [node,elem] = squar mesh([0 1 0 1],0.5);
3 totalEdge = sort([elem(:,[2,3]); elem(:,[3,1]); elem(:,[1,2])],2);
4 [edge, i1, totalJ] = unique(totalEdge,'rows');
5 NT = size(elem,1);
6 elem2edge = reshape(totalJ,NT,3);

```

结果如下

8x3 double			
	1	2	3
1	3	1	5
2	6	4	7
3	10	8	12
4	13	11	14
5	3	8	2
6	6	11	5
7	10	15	9
8	13	16	12

上面的思路适用于多三角形剖分,只不过此时因边数不同,要逐个单元存储每条边,以保证对应(三角形按局部边存储可快速恢复).当我们获得 totalJ 后,它与 totalEdge 的行对应,从而可对应 elem 获得 elem2edge. 在 MATLAB 中可用 mat2cell 实现,请参考相关说明. 我们把前面获取 edge, bdEdge 以及这里的 elem2edge 的过程放在一个 M 文件中

```

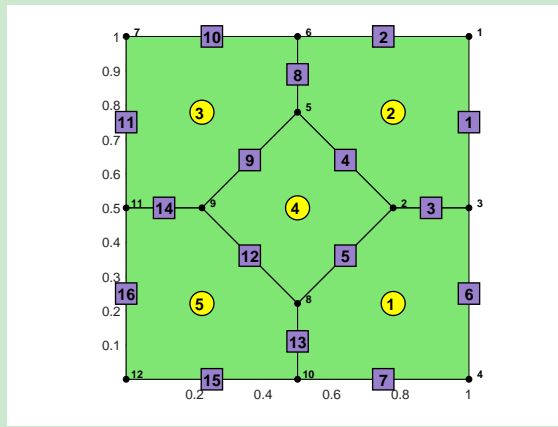
1 % % ----- elem2edge (triangulation) -----
2 % [node,elem] = squar mesh([0 1 0 1],0.5);
3 % showmesh(node,elem); findelem(node,elem); findnode(node);
4 % findedge(node,elem);
5
6 % ----- elem2edge (polygonal meshes) -----
7 load('mes hex1.mat');
8 showmesh(node,elem);
9 findnode(node); findelem(node,elem);
10 findedge(node,elem);
11
12 if iscell(elem)
13     % totalEdge
14     shiftfun = @(verts) [verts(2:end),verts(1)]; % or shiftfun = @(verts) ...
15         circshift(verts,-1);
16     T1 = cellfun(shiftfun, elem, 'UniformOutput', false);
17     v0 = horzcat(elem{:})'; % the starting points of edges
18     v1 = horzcat(T1{:})'; % the ending points of edges
19     totalEdge = sort([v0,v1],2);
20
21     % elem2edge
22     [~,~, totalJ] = unique(totalEdge,'rows');
23     elemLen = cellfun('length',elem); % length of each element
24     elem2edge = mat2cell(totalJ,elemLen,1);

```

```

24     elem2edge = cellfun(@transpose, elem2edge, 'UniformOutput', false);
25
26 else % Triangulation
27     totalEdge = sort([elem(:,[2,3]); elem(:,[3,1]); elem(:,[1,2])],2);
28     [~,~, totalJ] = unique(totalEdge,'rows');
29     NT = size(elem,1);
30     elem2edge = reshape(totalJ,NT,3);
31 end
32
33 % ----- edge, bdEdge -----
34 [i,j,s] = find(sparse(totalEdge(:,2),totalEdge(:,1),1));
35 edge = [j,i];
36 bdEdge = edge(s==1,:);

```



结果如下

5x1 cell	
	1
1	[13,7,6,3,5]
2	[3,1,2,8,4]
3	[14,9,8,10,11]
4	[12,5,4,9]
5	[15,13,12,14,16]

(a) elem2edge

16x2 double		
	1	2
1	1	3
2	1	6
3	2	3
4	2	5
5	2	8
6	3	4
7	4	10
8	5	6
9	5	9
10	6	7
11	7	11
12	8	9
13	8	10
14	9	11
15	10	12
16	11	12

(b) edge

8x2 double		
	1	2
1	1	3
2	1	6
3	3	4
4	4	10
5	6	7
6	7	11
7	10	12
8	11	12

(c) bdEdge

图 6. Auxiliary mesh data structure

1.4.2 edge2elem 的生成

对给定的一条边 e , 有时候希望知道包含它的单元有哪些. 对内部边, 就是哪两个单元以 e 为公共边. 为此, 我们定义矩阵 `edge2elem`, 维数为 $NE \times 2$, 其中 NE 是一维边的个数. 它的前两列分别存储相邻的三角形编号. 为了方便, 称第一列为左单元编号, 第二列为右单元编号. 注意, 对边界边我们规定两个编号一致.

	1	2	
1	1	5	
2	2	6	
3	4	8	
4	5	9	
5	1	5	
6	2	6	
7	4	8	
8	5	9	
9	1	2	
10	2	3	
11	4	5	
12	5	6	
13	4	5	
14	5	6	
15	7	8	
16	8	9	
17	2	5	
18	3	6	
19	5	8	
20	6	9	
21	1	4	
22	2	5	
23	4	7	
24	5	8	

(a) totalEdge

16x2 double			
	1	2	
1	1	2	
2	1	4	
3	1	5	
4	2	3	
5	2	5	
6	2	6	
7	3	6	
8	4	5	
9	4	7	
10	4	8	
11	5	6	
12	5	8	
13	5	9	
14	6	9	
15	7	8	
16	8	9	

(b) edge

16x1 double	
	1
1	9
2	21
3	1
4	10
5	17
6	2
7	18
8	11
9	23
10	3
11	12
12	19
13	4
14	20
15	15
16	16

(c) i1

24x1 double	
	1
1	3
2	6
3	10
4	13
5	3
6	6
7	10
8	13
9	1
10	4
11	8
12	11
13	8
14	11
15	15
16	16
17	5
18	7
19	12
20	14
21	2
22	5
23	9
24	12

(d) totalJ

- totalEdge 记录了所有的重复边, 称第一次出现的重复边为左单元边, 第二次出现的重复边为右单元边. 根据前面的说明,

```
[~, i1, totalJ] = unique(totalEdge, 'rows');
```

执行上面语句给出的 i1 记录了左单元边.

- 类似地, 对 totalEdge 的逆序使用 unique:

```
[~, i2] = unique(totalEdge(end:-1:1,:), 'rows');
```

或

```
[~, i2] = unique(totalJ(end:-1:1), 'rows');
```

给出的 i2 记录了左单元边, 但现在的序号与原先的有差别. 以图中的例子为例, 此时 1 相当于原来的 24, 2 相当于 23, 依此类推. 它们的和总是 25, 即 `length(totalEdge)+1` (三角形为 $3*NT+1$). 这样, 还原后的为

```
i2 = length(totalEdge)+1-i2;
```

- totalJ 或 totalEdge 并不是逐个单元存储的. 对三角剖分, 它是如下存储的

```
所有单元的第 1 条边: elem(:, [2,3]); % NT * 2
```

```
所有单元的第 2 条边: elem(:, [3,1]); % NT * 2
```

```
所有单元的第 3 条边: elem(:, [1,2]); % NT * 2
```

即, 前 NT 行与所有单元的第 1 条边对应, 中间的 NT 行与所有单元的第 2 条边对应, 最后的 NT 行与所有单元的第 3 条边对应. 设 totalJ 行的单元序号为 totalJelem, 则

```
totalJelem = repmat((1:NT)', 3, 1);
```

- 综上, 对三角形剖分, 有

```
edge2elem = totalJelem([i1, i2]);
```

- 对多角形剖分, 只要修改 totalJelem 即可. 对多角形情形, totalEdge 是按单元排列的, 只要按单元边数进行编号即可. 例如, 前面给出的例子, 每个单元的边数为

5x1 double	
	1
1	5
2	5
3	5
4	4
5	5

这里, 第 1 个单元有 5 条边, 第 2 个单元有 5 条边, 等等. 为此, totalJelem 的前 5 行都为 1 (对应单元 1), 接着的 5 行为 2, 等等. 如下给出

```

1 Num = num2cell((1:NT)');
2 Len = num2cell(cellLen);
3 totalJelem = cellfun(@(n1,n2) n1*ones(n2,1), Num, Len, ...
    'UniformOutput', false);
4 totalJelem = vertcat(totalJelem{:});

```

综上, 可如下实现 edge2elem

```

1 % ----- edge2elem -----
2 if iscell(elem)
3     Num = num2cell((1:NT)'); Len = num2cell(cellLen);
4     totalJelem = cellfun(@(n1,n2) n1*ones(n2,1), Num, Len, 'UniformOutput', ...
        false);
5     totalJelem = vertcat(totalJelem{:});
6 else
7     totalJelem = repmat((1:NT)',3,1);
8 end
9 [i1, i2] = unique(totalJ(end:-1:1),'rows');
10 i2 = length(totalEdge)+1-i2;
11 edge2elem = totalJelem([i1,i2]);

```

多角形剖分结果如下

16x2 double		
	1	2
1	2	2
2	2	2
3	1	2
4	2	4
5	1	4
6	1	1
7	1	1
8	2	3
9	3	4
10	3	3
11	3	3
12	4	5
13	1	5
14	3	5
15	5	5
16	5	5

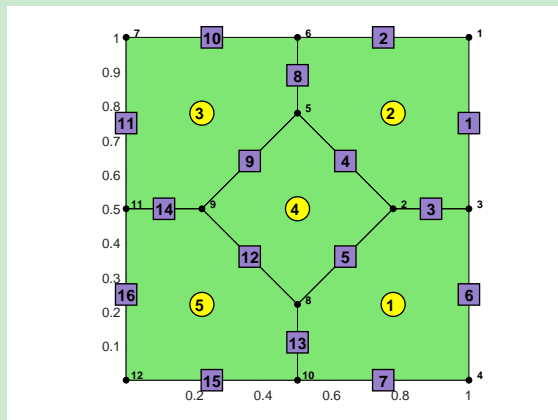


图 7. edge2elem

例如, 序号 12 的边连接的两个单元编号为 4 和 5.

注 1.5 totalEdge 是按单元顺序排列的, i1 对应 e 第一次出现的单元, i2 对应第二次出现的单元, 自然 edge2elem 的第一列单元序号小于或等于第二列单元序号.

1.4.3 neighbor 的生成

neighbor 是 NT*NE 的矩阵, 它的结构如下

neighbor 的结构

i	j	neighbor(i, j)
K _i	e _j	相邻三角形

edge2elem(:, 1) 对应左单元 K_i , 行索引对应边 e_j , 相邻三角形是 edge2elem(:, 2).

edge2elem(:, 2) 对应右单元 K_i , 行索引对应边 e_j , 相邻三角形是 edge2elem(:, 1).

可用 sparse 实现 neighbor.

```

1 % ----- neighbor -----
2 NE = size(edge, 1);
3 ii1 = edge2elem(:, 1); jj1 = (1:NE)'; ss1 = edge2elem(:, 2);
4 ii2 = edge2elem(:, 2); jj2 = (1:NE)'; ss2 = edge2elem(:, 1);
5 label = (ii2~=ss2);
6 ii2 = ii2(label); jj2 = jj2(label); ss2 = ss2(label);
7 ii = [ii1; ii2]; jj = [jj1; jj2]; ss = [ss1; ss2];
8 neighbor = sparse(ii, jj, ss, NT, NE);

```

注 1.6 本文给出的 neighbor 与 iFEM 不同, 那里是按单元给出每个顶点相对的单元序号, 这是由三角形的特殊性决定的.

1.5 网格相关的几何量

几何量包括

表 2. 几何量

elemCentroid	单元重心坐标
area	单元面积
diameter	单元直径

- 单元的重心如下计算

$$x_K = \frac{1}{6|K|} \sum_{i=0}^{N_v-1} (x_i + x_{i+1})(x_i y_{i+1} - x_{i+1} y_i),$$

$$y_K = \frac{1}{6|K|} \sum_{i=0}^{N_v-1} (y_i + y_{i+1})(x_i y_{i+1} - x_{i+1} y_i),$$

这里 N_v 是单元顶点个数.

- 单元面积

$$|K| = \frac{1}{2} \left| \sum_{i=0}^{N_v-1} x_i y_{i+1} - x_{i+1} y_i \right|.$$

- 单元直径就是所有顶点之间最长的距离, MATLAB 提供了 `pdist` 函数, 它计算各对行向量的相互距离.

以上几何量可如下获得

```

1 % ----- elemCentroid, area, diameter -----
2 elemCentroid = zeros(NT,2); area = zeros(NT,1); diameter = zeros(NT,1);
3 s = 1;
4 for iel = 1:NT
5     if iscell(elem)
6         index = elem{iel};
7     else
8         index = elem(iel,:);
9     end
10    verts = node(index, :); verts1 = verts([2:end,1],:);
11    area_components = verts(:,1).*verts1(:,2)-verts1(:,1).*verts(:,2);
12    ar = 0.5*abs(sum(area_components));
13    area(iel) = ar;
14    elemCentroid(s,:) = ...
        sum((verts+verts1).* repmat(area_components,1,2))/(6*ar);
15    diameter(s) = max(pdist(verts));
16    s = s+1;
17 end

```

1.6 auxstructure 与 auxgeometry 函数

为了输出方便, 我们把所有的数据结构或几何量保存在结构体 `aux` 中. 考虑到数据结构在编程中不一定使用 (处理网格时用), 我们把数据结构与几何量分别用函数生成, 命名为 `auxstructure.m` 和 `auxgeometry.m`. 为了方便使用, 程序中把三角剖分按单元存储的数据转化为元胞数组. `auxstructure.m` 函数如下

CODE 8. `auxstructure.m`

```

1 function aux = auxstructure(node,elem)
2
3 NT = size(elem,1);
4 if iscell(elem)
5     % totalEdge
6     shiftfun = @(verts) [verts(2:end),verts(1)]; % or shiftfun = @(verts) ...
        circshift(verts,-1);
7     T1 = cellfun(shiftfun, elem, 'UniformOutput', false);
8     v0 = horzcat(elem{:})'; % the starting points of edges
9     v1 = horzcat(T1{:})'; % the ending points of edges
10    totalEdge = sort([v0,v1],2);
11
12    % ----- elem2edge: elementwise edges -----
13    [~, i1, totalJ] = unique(totalEdge,'rows');
14    elemLen = cellfun('length',elem); % length of each elem
15    elem2edge = mat2cell(totalJ,elemLen,1);
16    elem2edge = cellfun(@transpose, elem2edge, 'UniformOutput', false);

```

```

17
18 else % Triangulation
19     totalEdge = sort([elem(:,[2,3]); elem(:,[3,1]); elem(:,[1,2])],2);
20     [~, i1, totalJ] = unique(totalEdge, 'rows');
21     elem2edge = reshape(totalJ,NT,3);
22 end
23
24 % ----- edge, bdEdge -----
25 [i,j,s] = find(sparse(totalEdge(:,2),totalEdge(:,1),1));
26 edge = [j,i];
27 bdEdge = edge(s==1,:);
28
29 % ----- edge2elem -----
30 if iscell(elem)
31     Num = num2cell((1:NT)'); Len = num2cell(elemLen);
32     totalJelem = cellfun(@(n1,n2) n1*ones(n2,1), Num, Len, 'UniformOutput', ...
33         false);
34     totalJelem = vertcat(totalJelem{:});
35 else
36     totalJelem = repmat((1:NT)',3,1);
37 end
38 [~, i2] = unique(totalJ(end:-1:1), 'rows');
39 i2 = length(totalEdge)+1-i2;
40 edge2elem = totalJelem([i1,i2]);
41
42 % ----- neighbor -----
43 NE = size(edge,1);
44 ii1 = edge2elem(:,1); jj1 = (1:NE)'; ss1 = edge2elem(:,2);
45 ii2 = edge2elem(:,2); jj2 = (1:NE)'; ss2 = edge2elem(:,1);
46 label = (ii2~=ss2);
47 ii2 = ii2(label); jj2 = jj2(label); ss2 = ss2(label);
48 ii = [ii1;ii2]; jj = [jj1;jj2]; ss = [ss1;ss2];
49 neighbor = sparse(ii,jj,ss,NT,NE);
50
51 if ~iscell(elem) % transform to cell
52     elem = mat2cell(elem,ones(NT,1),3);
53     elem2edge = mat2cell(elem2edge,ones(NT,1),3);
54 end
55
56 aux.node = node; aux.elem = elem;
57 aux.elem2edge = elem2edge;
58 aux.edge = edge; aux.bdEdge = bdEdge;
59 aux.edge2elem = edge2elem;
60 aux.neighbor = neighbor;

```

auxgeometry.m 函数如下

CODE 9. auxgeometry.m

```

1 function aux = auxgeometry(node,elem)

```



```

2
3 % ----- elemCentroid, area, diameter -----
4 NT = size(elem,1);
5 elemCentroid = zeros(NT,2); area = zeros(NT,1); diameter = zeros(NT,1);
6 s = 1;
7 for iel = 1:NT
8     if iscell(elem)
9         index = elem{iel};
10    else
11        index = elem(iel,:);
12    end
13    verts = node(index, :); verts1 = verts([2:end,1],:);
14    area_components = verts(:,1).*verts1(:,2)-verts1(:,1).*verts(:,2);
15    ar = 0.5*abs(sum(area_components));
16    area(iel) = ar;
17    elemCentroid(s,:) = ...
        sum((verts+verts1).* repmat(area_components,1,2))/(6*ar);
18    diameter(s) = max(pdist(verts));
19    s = s+1;
20 end
21
22 if ~iscell(elem) % transform to cell
23     elem = mat2cell(elem,ones(NT,1),3);
24 end
25
26 aux.node = node; aux.elem = elem;
27 aux.elemCentroid = elemCentroid;
28 aux.area = area;
29 aux.diameter = diameter;

```

1.7 边界设置

假设网格的边界只有 Dirichlet 与 Neumann 两种类型, 前者用 `eD` 存储 Dirichlet 节点的编号, 后者用 `elemN` 存储 Neumann 边界的起点和终点编号 (即一维问题的连通性信息).

1.7.1 边界边的定向

辅助数据结构中曾给出了边界边 `bdEdge`, 但它的定向不再是逆时针, 因为我们规定 $\text{edge}(k,1) < \text{edge}(k,2)$. Neumann 边界条件中会遇到 $\partial_n u$, 这就需要我们恢复边界边的定向以确定外法向量 (边的旋转获得).

给定 `totalEdge`, 即所有单元的边 (含重复且无定向), 我们有两种方式获得边 (第一种可获得边界边, 第二种只获得所有边):

- 一是累计重复的次数 (1 是边界, 2 是内部)

```

1 [i,j,s] = find(sparse(totalEdge(:,2),totalEdge(:,1),1));
2 edge = [j,i];
3 bdEdge = edge(s==1,:);

```

- 二是直接去掉重复的边

```
1 [edge, i1, ~] = unique(totalEdge, 'rows');
```

这里, `i1` 记录的是 `edge` 在重复边 `totalEdge` 中的位置.

显然, `i1(s==1)` 给出的是边界边 `bdEdge` 在 `totalEdge` 中的位置. `totalEdge` 的原来定向是知道的, 由此就可确定边界边的定向, 程序如下

```
1 [node, elem] = squaremesh([0 1 0 1], 0.5);
2 NT = size(elem, 1);
3 % totalEdge
4 if iscell(elem)
5     shiftfun = @(verts) [verts(2:end), verts(1)];
6     T1 = cellfun(shiftfun, elem, 'UniformOutput', false);
7     v0 = horzcat(elem{:})'; % the starting points of edges
8     v1 = horzcat(T1{:})'; % the ending points of edges
9     allEdge = [v0, v1];
10    totalEdge = sort(allEdge, 2);
11 else
12    allEdge = [elem(:, [2, 3]); elem(:, [3, 1]); elem(:, [1, 2])];
13    totalEdge = sort(allEdge, 2);
14 end
15 [~, ~, s] = find(sparse(totalEdge(:, 2), totalEdge(:, 1), 1));
16 [edge, i1, ~] = unique(totalEdge, 'rows');
17 bdEdge = allEdge(i1(s==1), :); % counterclockwise
```

1.7.2 边界的设置

下面说明如何实现 `eD` 和 `elemN`. 以下图为例

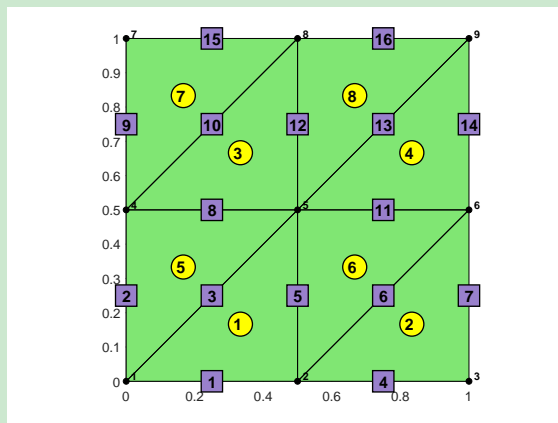


图 8. 边的自然序号

- 边界边的序号顺序为 1, 2, 4, 7, 9, 14, 15, 16. 定向的 `bdEdge` 给出的是这些边的起点与终点编号, 只要按索引对应即可.
 - 边界我们用函数确定, 例如矩形 $[0, 1]^2$ 的右边界为满足 $x = 1$ 的线段组成. 只需要判断 `bdEdge` 对应的边的中点在该线段上. 如下
-

```

1 bdFun = 'x==1';
2 nodebdEdge = (node(bdEdge(:,1),:) + node(bdEdge(:,2),:))/2;
3 x = nodebdEdge(:,1); y = nodebdEdge(:,2);
4 id = eval(bdFun);

```

这里, `eval` 将字符串视为语句并运行. 现在给定了若干个 `x`, 执行 `eval(bdFun)` 就会判断哪些 `x` 满足条件, 返回的是逻辑数组 `id = [0 0 0 1 0 1 0 0]`, 即索引中的第 4,6 条边在右边界上.

- 这样, 我们就可抽取出需要的边 `bdEdge(id,:)`. 需要注意的是, `node` 在边界上不一定精确为 1, 通常将上面的 `bdFun` 修改为

```
bdFun = 'abs(x-1)<1e-4';
```

- Neumann 边界通常比 Dirichlet 边界少, 为此在建函数的时候, 输入的字符串默认为是 Neumann 边界的, 其他的都是 Dirichlet. 另外, 当没有边界字符串的时候, 规定所有边都是 Dirichlet 边.

根据上面的讨论, 我们可以给出函数 `setboundary.m`

CODE 10. setboundary.m

```

1 function bdStruct= setboundary(node,elem,varargin)
2 % varargin: string for Neumann boundary
3
4 % ----- totalEdge -----
5 if iscell(elem)
6     shiftfun = @(verts) [verts(2:end),verts(1)]; % or shiftfun = @(verts) ...
7         circshift(verts,-1);
8     T1 = cellfun(shiftfun, elem, 'UniformOutput', false);
9     v0 = horzcat(elem{:})'; % the starting points of edges
10    v1 = horzcat(T1{:})'; % the ending points of edges
11    allEdge = [v0,v1];
12 else % Triangulation
13     allEdge = [elem(:,[2,3]); elem(:,[3,1]); elem(:,[1,2])];
14 end
15
16 % ----- counterclockwise bdEdge -----
17 [n,s] = find(sparse(totalEdge(:,2),totalEdge(:,1),1));
18 [n, i1, n] = unique(totalEdge,'rows');
19 bdEdge = allEdge(i1(s==1),:);
20
21 % ----- set boundary -----
22 nE = size(bdEdge,1);
23 % initial as Dirichlet (true for Dirichlet, false for Neumann)
24 bdFlag = true(nE,1);
25 nodebdEdge = (node(bdEdge(:,1),:) + node(bdEdge(:,2),:))/2;
26 x = nodebdEdge(:,1); y = nodebdEdge(:,2);
27 nvar = length(varargin); % 1 * size(varargin,2)
28 % note that length(varargin) = 1 for bdNeumann = [] or ''

```

```

29 if (nargin==2) || (~isempty(varargin{1}))
30     for i = 1:nvar
31         bdNeumann = varargin{i};
32         id = eval(bdNeumann);
33         bdFlag(id) = false;
34     end
35 end
36 bdStruct.ed = unique(bdEdge(bdFlag,:));
37 bdStruct.elemN = bdEdge(~bdFlag,:);

```

这里, ed 和 elemN 保存在结构体 bdStruct 中. 例如,

1. 以下命令给出的边界全是 Dirichlet 边界:

```

bdStruct = setboundary(node,elem);

bdStruct = setboundary(node,elem, []);

bdStruct = setboundary(node,elem, '');

```

2. bdStruct = setboundary(node,elem, 'x==1') 将右边界设为 Neumann 边, 其他为 Dirichlet 边.
3. bdStruct = setboundary(node,elem, '(x==1)|(y==1)') 将右边界与上边界设为 Neumann 边.

注 1.7 以下两种写法等价

```

bdStruct = setboundary(node,elem, '(x==1)|(y==1)');
bdStruct = setboundary(node,elem, 'x==1', 'y==1');

```

2 Poisson 方程的一阶虚拟元方法

考虑 Poisson 方程的 Dirichlet 问题

$$\begin{cases} -\Delta u = f & \text{in } \Omega, \\ u = g & \text{on } \partial\Omega. \end{cases} \quad (2.1)$$

为了方便, 以下设 $g = 0$.

2.1 变分问题

VEM 的局部形函数空间为

$$V_k(K) := \{v \in H^1(K) : \Delta v \in \mathbb{P}_{k-2}(K), \ v|_{\partial K} \in \mathbb{B}_k(\partial K)\},$$

式中,

$$\mathbb{B}_k(\partial K) = \left\{v \in C^k(\partial K) : v|_e \in \mathbb{P}_k(e), \ e \subset \partial K\right\}$$

称为边界元空间. 给定区域的剖分 \mathcal{T}_h , 对模型问题 (2.1), 相应的有限元空间取为协调有限元空间

$$V_h = \{v \in H_0^1(\Omega) \cap C(\overline{\Omega}) : v|_K \in V_k(K), \ K \in \mathcal{T}_h\}.$$

变分问题为: 求 $u_h \in V_h$, 使得

$$a_h(u_h, v) = F_h(v) \quad \forall v \in V_h,$$

式中

$$\begin{aligned} a_h(u, v) &= \sum_{K \in \mathcal{T}_h} a_K^h(u, v), \\ a_K^h(u, v) &= \int_K \nabla(\Pi_k^\nabla u) \cdot \nabla(\Pi_k^\nabla v) dx + S_K(u - \Pi_k^\nabla u, v - \Pi_k^\nabla v), \\ F_h(v) &= \sum_{K \in \mathcal{T}_h} F_K^h(v), \quad F_K^h(v) = \int_K \Pi_{k-2}^0 f v dx. \end{aligned}$$

规定, $\mathbb{P}_{-1} = \{0\}$, $\Pi_{-1}^0 = \Pi_0^0$ (即常数投影).

局部 H^1 投影定义为

$$\Pi_k^\nabla : H^1(K) \rightarrow \mathbb{P}_k(K), \quad v \mapsto \Pi_k^\nabla v,$$

满足

$$\begin{cases} a_K(\Pi_k^\nabla v, p) = a_K(v, p), \quad p \in \mathbb{P}_k(K), \\ P_0(\Pi_k^\nabla v) = P_0(v) \end{cases}$$

或

$$\begin{cases} (\nabla(\Pi_k^\nabla v), \nabla p)_K = (\nabla v, \nabla p)_K, \quad p \in \mathbb{P}_k(K), \\ P_0(\Pi_k^\nabla v) = P_0(v). \end{cases} \quad (2.2)$$

一次情形的稳定项取为

$$\begin{aligned} S_K(v - \Pi_1^\nabla v, w - \Pi_1^\nabla w) &= \sum_{p_i \in \partial K} (v - \Pi_1^\nabla v)(p_i)(w - \Pi_1^\nabla w)(p_i) \\ &=: \sum_{i=1}^{N_v} \chi_i(v - \Pi_1^\nabla v) \chi_i(w - \Pi_1^\nabla w). \end{aligned}$$

2.2 过渡矩阵 D

为了验证程序的正确性, 后面每一步都会参考文献 [1] 中例子的结果, 那里的数据结构为

```

1 node = [0 0; 3 0; 3 2; 3/2 4; 0 4];
2 elem = {1:5};
3 aux = auxstructure(node,elem);

```

查看结构体 `aux` 可以看到, 重心、单元直径和单元面积与那里的一致.

类似线性代数, 我们把虚拟元空间 $V_k(K)$ 的基函数排成行向量, 记为

$$\phi^T = (\phi_1, \phi_2, \dots, \phi_{N_k}),$$

其中, N_k 是基函数的个数. 设 $\mathbb{P}_k(K)$ 的基为

$$m^T = (m_1, m_2, \dots, m_{N_p}),$$

因 $\mathbb{P}_k(K) \subset V_k(K)$, 故可设

$$(m_1, m_2, \dots, m_{N_p}) = (\phi_1, \phi_2, \dots, \phi_{N_k})D, \quad \text{或} \quad m^T = \phi^T D, \quad (2.3)$$

称 D 是从 $V_k(K)$ (的基) 到 $\mathbb{P}_k(K)$ (的基) 的过渡矩阵. 以下约定, 用拉丁字母 i, j 等作为基函数 ϕ^T 的索引, 而用希腊字母 α, β 作为 m^T 的索引. 根据自由度的定义,

$$m_\alpha = \sum_{i=1}^{N_k} \phi_i D_{i\alpha}, \quad D_{i\alpha} = \chi_i(m_\alpha),$$

且 D 是 $N_k \times N_p$ 的矩阵.

过渡矩阵是可计算的. 对一次元, 即 $k = 1$ 情形, 有

$$\chi_i(v) = v(p_i), \quad i = 1, \dots, N_k = N_v,$$

$$m^T = \left\{ m_1(x, y) = 1, \quad m_2(x, y) = \frac{x - x_K}{h_K}, \quad m_3(x, y) = \frac{y - y_K}{h_K} \right\},$$

从而

$$D = (D_{i\alpha})_{N_v \times 3}, \quad D_{i,\alpha} = \chi_i(m_\alpha) = m_\alpha(p_i) = \begin{cases} 1, & \alpha = 1 \\ \frac{x_i - x_K}{h_K}, & \alpha = 2 \\ \frac{y_i - y_K}{h_K}, & \alpha = 3 \end{cases}.$$

显然第一列全为 1. 我们将一次性把所有单元的过渡矩阵 D 计算出来, 并用元胞数组存储. $k = 1$ 的程序如下

```

1 node = [0 0; 3 0; 3 2; 3/2 4; 0 4]; elem = {1:5};
2 aux = auxstructure(node,elem);
3
4 node = aux.node; elem = aux.elem;
5 nodeCentroid = aux.nodeCentroid;
6 diameter = aux.diameter;
7
8 NT = size(elem,1); D = cell(NT,1); B = cell(NT,1);

```

```

9 for iel = 1:NT
10     index = elem{iel};      Nv = length(index);
11     xK = nodeCentroid(iel,1); yK = nodeCentroid(iel,2); hK = diameter(iel);
12     x = node(index,1); y = node(index,2);
13     m = @(x,y) [(x-xK)./hK,(y-yK)./hK]; % m2,m3
14
15     D1 = zeros(Nv,3); D1(:,1) = 1;
16     D1(:,2:3) = m(x,y);
17     D{iel} = D1;
18 end

```

注意这里多个匿名函数的使用. 所得结果与文献 [1] 的一致.

2.3 椭圆投影在基下的矩阵

对 VEM 中的函数, 当它的自由度已知时, 椭圆投影就是可计算的. 而 $\chi_i(\phi_j) = \delta_{ij}$, 故节点基函数的投影可计算. 设椭圆投影算子 Π_k^∇ 在节点基下的矩阵记为 $\mathbf{\Pi}_k^\nabla$, 即

$$\Pi_k^\nabla(\phi_1, \phi_2, \dots, \phi_{N_k}) = (\phi_1, \phi_2, \dots, \phi_{N_k})\mathbf{\Pi}_k^\nabla \quad \text{或} \quad \Pi_k^\nabla \phi^T = \phi^T \mathbf{\Pi}_k^\nabla.$$

根据自由度的定义, $\mathbf{\Pi}_k^\nabla$ 的第 j 列就是 $\Pi_k^\nabla \phi_j$ 的自由度向量, 即

$$\mathbf{\Pi}_k^\nabla = (\chi_i(\Pi_k^\nabla \phi_j)). \quad (2.4)$$

2.3.1 椭圆投影定义的向量形式

定义 2.2 等价于

$$\begin{cases} a_K(\Pi_k^\nabla \phi_i, m_\alpha) = a_K(\phi_i, m_\alpha) \\ P_0(\Pi_k^\nabla \phi_i) = P_0(\phi_i) \end{cases}, \quad i = 1, \dots, N_k, \quad \alpha = 1, \dots, N_p$$

或

$$\begin{cases} (\nabla \Pi_k^\nabla \phi_i, m_\alpha)_K = (\nabla \phi_i, m_\alpha)_K \\ P_0(\Pi_k^\nabla \phi_i) = P_0(\phi_i) \end{cases}, \quad i = 1, \dots, N_k, \quad \alpha = 1, \dots, N_p,$$

写成向量形式为

$$\begin{cases} a_K(m, \Pi_k^\nabla \phi^T) = a_K(m, \nabla \phi^T), \\ P_0(\Pi_k^\nabla \phi^T) = P_0(\phi^T). \end{cases}$$

或

$$\begin{cases} \int_K \nabla m \cdot \nabla \Pi_k^\nabla \phi^T dx = \int_K \nabla m \cdot \nabla \phi^T dx, \\ P_0(\Pi_k^\nabla \phi^T) = P_0(\phi^T). \end{cases} \quad (2.5)$$

设投影向量 $\Pi_k^\nabla \phi^T$ 在多项式基 m^T 下的矩阵为 $\mathbf{\Pi}_{k*}^\nabla$, 即

$$\Pi_k^\nabla \phi^T = m^T \mathbf{\Pi}_{k*}^\nabla, \quad (2.6)$$

称 $\mathbf{\Pi}_{k*}^\nabla$ 为椭圆投影关于多项式基的 Riesz 表示. 由过渡矩阵的关系知, 两组不同基下的矩阵满足

$$\mathbf{\Pi}_k^\nabla = D \mathbf{\Pi}_{k*}^\nabla.$$

令

$$G = a_K(m, m^T) = \int_K \nabla m \cdot \nabla m^T dx,$$

$$B = a_K(m, \phi^T) = \int_K \nabla m \cdot \nabla \phi^T dx,$$

则由 (2.5) 知

$$\begin{cases} G \Pi_{k*}^\nabla = B, \\ P_0(m^T) \Pi_{k*}^\nabla = P_0(\phi^T), \end{cases}$$

其中, G 是 $N_p \times N_p$ 的方阵, B 是 $N_k \times N_p$ 的矩阵, 而第二个方程实际上是一个行向量.

注意, G 不可逆, 因为 ∇m 的第一个分量为零, 从而 G 的第一行全为零. 这是因为 (2.5) 不考虑限制条件时, 投影不唯一. 这样, 我们只要把第一行恒为零的方程用投影的限制条件替换, 即

$$\tilde{G} \Pi_{k*}^\nabla = \tilde{B},$$

式中,

$$\tilde{G} = G + \begin{bmatrix} P_0(m^T) \\ O \end{bmatrix}, \quad \tilde{B} = B + \begin{bmatrix} P_0(\phi^T) \\ O \end{bmatrix}.$$

则 \tilde{G} 可逆, 且

$$\Pi_{k*}^\nabla = \tilde{G}^{-1} \tilde{B}, \quad \Pi_k^\nabla = D \Pi_{k*}^\nabla.$$

2.3.2 可计算性

我们要把 (2.5) 的右端用自由度表示, 即计算 B , 它的第一行自然为零. 分部积分有

$$B = \int_K \nabla m \cdot \nabla \phi^T dx = - \int_K \Delta m \cdot \phi^T dx + \sum_{e \in \partial K} \int_e (\nabla m \cdot \mathbf{n}_e) \phi^T ds, \quad (2.7)$$

右端第一项转化为 ϕ^T 的自由度计算, 第二项限制在边界上是多项式, 归结为普通的有限元问题.

注意, \tilde{G} 或 G 不需要直接计算, 这是因为我们有如下的一致性关系 (consistency relation).

引理 2.1

$$G = BD, \quad \tilde{G} = \tilde{B}D.$$

证明 对第一式, 直接验证有

$$G = \int_K \nabla m \cdot \nabla m^T dx = \int_K \nabla m \cdot \nabla \phi^T dx D = BD.$$

对第二式,

$$\begin{aligned} \tilde{G} &= G + \begin{bmatrix} P_0(m^T) \\ O \end{bmatrix} = \int_K \nabla m \cdot \nabla m^T dx + \begin{bmatrix} P_0(m^T) \\ O \end{bmatrix} \\ &= \int_K \nabla m \cdot \nabla \phi^T dx D + \begin{bmatrix} P_0(\phi^T) \\ O \end{bmatrix} D = \tilde{B}D. \end{aligned}$$

□

因为 D 不可逆, 所以不能通过直接计算 G , 然后反推出 B (B 比较难算). 这体现了 VEM 中可计算问题的思考过程不能省略.

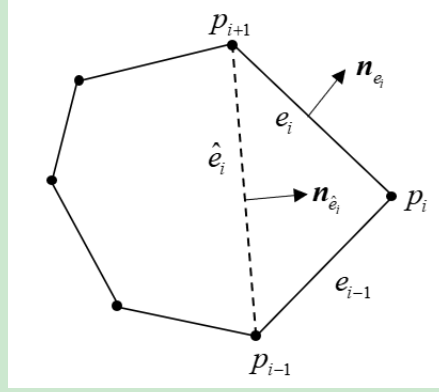


图 9. $n_{\hat{e}_i}$ 的示意图

考虑 $k = 1$ 的情形. 尺度单项式的次数不超过 1, 故 $\Delta \underline{m} = \mathbf{0}$, 只需要考虑边界项. 此时, $\nabla \underline{m}$ 的每个分量都是常数, 且外法向量在每个边界单元上也是常数, 都可直接提出积分号. 每个 ϕ_i 在边界上是一次多项式, 且顶点值满足 Kronecker 性质 (第 i 个基对应第 i 个点). 设 p_{i-1} 表示 p_i 的上一个点, p_{i+1} 表示下一个点, 则有

$$\begin{aligned} & \sum_{e \subset \partial K} \int_e (\nabla m_\alpha \cdot \mathbf{n}_e) \phi_i ds \\ &= \sum_{e \subset \partial K} (\nabla m_\alpha \cdot \mathbf{n}_e) \int_e \phi_i ds = \sum_{j=1}^{N_v} (\nabla m_\alpha \cdot \mathbf{n}_{e_j}) \frac{\phi_i(p_j) + \phi_i(p_{j+1})}{2} |e_j| \\ &= \nabla m_\alpha \cdot \frac{|e_{i-1}| \mathbf{n}_{e_{i-1}} + |e_i| \mathbf{n}_{e_i}}{2} \end{aligned} \quad (2.8)$$

考察三角形 $\Delta p_{i-1} p_i p_{i+1}$, 我们有

$$\overrightarrow{p_{i+1} p_{i-1}} + \overrightarrow{p_{i-1} p_i} + \overrightarrow{p_i p_{i+1}} = \mathbf{0},$$

三角形逆时针旋转 90° 后结果不变. 显然每个边旋转后都与对应边的内法向量共线, 且长度不变, 故

$$|\hat{e}_i| \mathbf{n}_{\hat{e}_i} + (-|e_{i-1}| \mathbf{n}_{e_{i-1}}) + (-|e_i| \mathbf{n}_{e_i}) = \mathbf{0}$$

或

$$|\hat{e}_i| \mathbf{n}_{\hat{e}_i} = |e_{i-1}| \mathbf{n}_{e_{i-1}} + |e_i| \mathbf{n}_{e_i}.$$

综上,

$$\sum_{e \subset \partial K} \int_e (\nabla m_\alpha \cdot \mathbf{n}_e) \phi_i ds = \nabla m_\alpha \cdot \frac{|\hat{e}_i| \mathbf{n}_{\hat{e}_i}}{2},$$

这里 $|\hat{e}_i| \mathbf{n}_{\hat{e}_i}$ 就是定向边 $\overrightarrow{p_{i+1} p_{i-1}}$ 逆时针旋转 90° 后得到的向量. 注意, 向量 $\alpha = (a, b)$ 旋转 90° 后坐标变为 $(-b, a)$.

为了计算 B , 我们只要计算出

$$\begin{bmatrix} \nabla m_1 \\ \vdots \\ \nabla m_{N_p} \end{bmatrix}, \quad \frac{1}{2} \left[|\hat{e}_1| \mathbf{n}_{\hat{e}_1}, \dots, |\hat{e}_{N_k}| \mathbf{n}_{\hat{e}_{N_k}} \right]$$

然后进行相乘即可, 这里 ∇m_α 的坐标按行排, $|\hat{e}_i| \mathbf{n}_{\hat{e}_i}$ 的坐标按列排.

```

1 node = [0 0; 3 0; 3 2; 3/2 4; 0 4]; elem = {1:5};
2 aux = auxstructure(node,elem);
3 diameter = aux.diameter;
4
5 NT = size(elem,1); B = cell(NT,1);
6 for iel = 1:NT
7     index = elem{iel};      Nv = length(index);
8     hK = diameter(iel);
9     x = node(index,1); y = node(index,2);
10    rotid1 = [Nv,1:Nv-1]; rotid2 = [2:Nv,1]; % ending and starting indices
11    Gradm = [0 0; 1./hK*[1, 0]; 1./hK*[0, 1]];
12    normVec = 0.5*[y(rotid2) - y(rotid1), x(rotid1)-x(rotid2)]'; % a ...
        rotation of edge vector
13    B{iel} = Gradm*normVec;
14 end

```

2.3.3 投影限制条件

对 $k = 1$, 计算中 P_0 通常采用如下离散形式

$$P_0 v = \frac{1}{N_v} \sum_{i=1}^{N_v} v(p_i), \quad (2.9)$$

从而

$$P_0(\phi^T) = \frac{1}{N_v} [1, \dots, 1].$$

我们把前面所有的矩阵用同一个函数生成.

```

1 function [D,Bs,G,Gs] = VEM_MAT_Poisson(aux)
2
3 % aux = auxgeometry(node,elem);
4
5 node = aux.node; elem = aux.elem;
6 elemCentroid = aux.elemCentroid;
7 diameter = aux.diameter;
8 NT = size(elem,1);
9
10 D = cell(NT,1);
11 % B = cell(NT,1); % it is not used in the computation
12 Bs = cell(NT,1);
13 G = cell(NT,1); Gs = cell(NT,1);
14 for iel = 1:NT
15     index = elem{iel};      Nv = length(index);
16     xK = elemCentroid(iel,1); yK = elemCentroid(iel,2); hK = diameter(iel);
17
18     m = @(x,y) [(x-xK)./hK,(y-yK)./hK]; % m2,m3
19     x = node(index,1); y = node(index,2);
20
21     % D
22     D1 = zeros(Nv,3); D1(:,1) = 1;

```

```

23     D1(:,2:3) = m(x,y);    D{iel} = D1;
24
25     % B, Bs, G, Gs
26     rotid1 = [Nv,1:Nv-1]; rotid2 = [2:Nv,1]; % ending and starting indices
27     Gradm = [0 0; 1./hK*[1, 0]; 1./hK*[0, 1]];
28     normVec = 0.5*[y(rotid2) - y(rotid1), x(rotid1)-x(rotid2)]'; % a ...
        rotation of edge vector
29     B1 = Gradm*normVec; B1s = B1; B1s(1,:) = 1/Nv;
30     % B{iel} = B1;
31     Bs{iel} = B1s;
32     G{iel} = B1*D1;      Gs{iel} = B1s*D1;
33 end

```

对 $k = 1$ 情形, 文献 [1] 中 $B(2,1)$ 元素应该少了一个负号, 其他结果都一致.

2.4 L^2 投影在基下的矩阵

2.4.1 矩阵表示

L^2 projection is defined by

$$\begin{cases} \Pi_k^0: V_k(K) \rightarrow \mathbb{P}_k(K), & v \mapsto \Pi_k^0 v, \\ (\Pi_k^0 v, q)_K = (v, q)_K, \end{cases}$$

which is equivalent to the following formula

$$(\Pi_k^0 \phi_i, m_\alpha)_K = (\phi_i, m_\alpha)_K, \quad i = 1, \dots, N_k, \quad \alpha = 1, \dots, N_p \quad (2.10)$$

or

$$\int_K m \Pi_k^0 \phi^T dx = \int_K m \phi^T dx. \quad (2.11)$$

设 Π_k^0 在基 ϕ^T 下的矩阵为 Π_k^0 , 即

$$\Pi_k^0 \phi^T = \phi^T \Pi_k^0,$$

而 $\Pi_k^0 \phi^T$ 在多项式基 m^T 下的矩阵为 Π_{k*}^0 , 即

$$\Pi_k^0 \phi^T = m^T \Pi_{k*}^0. \quad (2.12)$$

由 (2.3) 知,

$$\Pi_k^0 = D \Pi_{k*}^0.$$

把这些关系代入 (2.11), 我们有 L^2 投影的矩阵表示

$$H \Pi_{k*}^0 = C,$$

式中,

$$H = \int_K m m^T dx, \quad C = \int_K m \phi^T dx.$$

注 2.1 H 是可逆的 (Gram 矩阵), 但 C 不可计算, 因为它涉及到 K 上 $\geq k-1$ 的矩量.

2.4.2 可计算性

为了 L^2 投影的可计算性, 多出的自由度通常用 Π_k^∇ 代替, 即定义

$$(\Pi_k^0 w_h, q)_K = (\Pi_k^\nabla w_h, q)_K, \quad q \in \mathcal{M}_k \setminus \mathcal{M}_{k-2},$$

也就是说, 我们在空间

$$W_k(K) = \left\{ w_h \in \tilde{V}_k(K) : (w_h - \Pi_k^\nabla w_h, q)_K = 0, \quad q \in \mathcal{M}_k \setminus \mathcal{M}_{k-2} \right\}$$

中考虑问题, 其中

$$\tilde{V}_k(K) := V_{k,k}(K) = \left\{ v \in H^1(K) : v|_{\partial K} \in \mathbb{B}_k(\partial K), \Delta v \in \mathbb{P}_k(K) \right\}.$$

为此, 定义 \tilde{C} 为

$$\tilde{C}(\alpha, \cdot) = \begin{cases} \int_K m_\alpha \phi^T dx, & \deg(m_\alpha) \leq k-2, \\ \int_K m_\alpha \Pi_k^\nabla \phi^T dx, & \deg(m_\alpha) = k-1, k, \end{cases}$$

从而

$$H \Pi_{k*}^0 = \tilde{C}.$$

注 2.2 上面的 ϕ^T 是 $W_k(K)$ 的基函数. 根据定义, 在 $W_k(K)$ 中显然有 $\tilde{C} = C$. 而由 (2.6), 即

$$\Pi_k^\nabla \phi^T = m^T \Pi_{k*}^\nabla,$$

我们有

$$\int_K m_\alpha \Pi_k^\nabla \phi^T dx = \int_K m_\alpha m^T dx \Pi_{k*}^\nabla = H(\alpha, \cdot) \Pi_{k*}^\nabla. \quad (2.13)$$

这表明 \tilde{C} 确实可计算.

注 2.3 当 $k=1$ 时, 有

$$\tilde{C}(\alpha, \cdot) = \int_K m_\alpha \Pi_k^\nabla \phi^T dx, \quad \alpha = 1, 2, 3.$$

可以证明, 当 $k=1, 2$ 时,

$$\Pi_k^\nabla w_h = \Pi_k^0 w_h, \quad w_h \in W_k(K),$$

这里对 $k=2$, Π_2^∇ 的唯一性限制条件改为

$$\int_K v_h dx = \int_K \Pi_2^\nabla v_h dx, \quad (2.14)$$

而不是用边界积分. 这样看来, L^2 投影似乎不需要考虑计算问题, 因为已经知道

$$\Pi_k^0 = \Pi_k^\nabla, \quad \Pi_{k*}^0 = \Pi_{k*}^\nabla.$$

实则不然, 在双线性形式的表示中仍要计算矩阵 H . 类似椭圆投影, 我们有如下的一致性关系

引理 2.2 在 $W_k(K)$ 中, 有 $C = \tilde{C}$, 从而

$$H = CD = \tilde{C}D.$$

证明 直接计算有

$$H = \int_K m m^T dx = \int_K m \phi^T D dx = \int_K m \phi^T dx D = CD.$$

□

注 2.4 由 (2.13) 可知, \tilde{C} 的计算实际上需要用到 H 的若干行. 因此, L^2 投影的一致性关系用处不大.

下面考虑如何计算单元上的积分. 设单元的重心为 z_0 , 顶点分别为 z_1, \dots, z_{N_v} , 连接重心与顶点, 则给出单元 K 的一个三角剖分, 共有 N_v 个小三角形. 这样, K 上的积分转化为这些小三角形上的积分之和. iFEM 中提供了三角形上的 Gauss 求积节点与权重, 即 `quadpts.m`. 我们简单说明一下其用法. 那里的权重和节点实际上是针对面积坐标下的参考三角形进行的, 积分公式为

$$\iint_{\hat{T}} f(\lambda_1, \lambda_2, \lambda_3) d\hat{\sigma} \approx |\hat{T}| \sum_{i=1}^{n_g} w_i f(\lambda_{1,i}, \lambda_{2,i}, \lambda_{3,i}), \quad |\hat{T}| = \frac{1}{2},$$

其中,

$$\begin{cases} x = x_1 \lambda_1 + x_2 \lambda_2 + x_3 \lambda_3 \\ y = y_1 \lambda_1 + y_2 \lambda_2 + y_3 \lambda_3 \end{cases}, \quad \lambda_1 + \lambda_2 + \lambda_3 = 1, \quad (2.15)$$

注意到

$$\det \left(\frac{\partial(x, y)}{\partial(\lambda_1, \lambda_2)} \right) = 2S,$$

这里 S 是三角形 T 的代数面积, 我们有

$$\int_T F(x, y) d\sigma = 2|T| \int_T f(\lambda_1, \lambda_2, \lambda_3) d\hat{\sigma} = |T| \sum_{i=1}^{n_g} w_i f(\lambda_{1,i}, \lambda_{2,i}, \lambda_{3,i}).$$

因变换前后点出的值不变, 故

$$\int_T F(x, y) d\sigma = |T| \sum_{i=1}^{n_g} w_i F(x_i, y_i).$$

利用 (2.15) 可把参考元上的 Gauss 点 $(\lambda_{1,i}, \lambda_{2,i}, \lambda_{3,i})$ 转化为 T 上的点. 对 VEM 的单元 K , 可给出其三角剖分的基本数据结构, 记为 `nodeT`, `elemT`, 这样可如下进行 K 上的积分.

```

1 function Int = integralTri(fun,n,nodeT,elemT)
2 %% integralTri: approximate integrals in a polygonal domain
3 %% with triangulation (nodeT,elemT).
4 %% n: n-th order quadrature rule
5 %% fun: one or more anonymous functions, e.g. fun = @(x,y) [f1(x,y), f2(x,y)]
6
7 [lambda,weight] = quadpts(n);
8 NT = size(elemT,1); Int = 0;
9 for iel = 1:NT
10     vT = nodeT(elemT(iel,:),:);
11     area = 0.5*abs(det([1;1;1],vT)));
12     xy = lambda*vT;
13     f = fun(xy(:,1),xy(:,2));
14     Int = Int + area*weight*f;
15 end

```

注意 fun 容许是多个按行排列的匿名函数.

我们把 $k = 1$ 时的 H 添加到之前的 VEM_MAT_Poisson.m 中, 如下

CODE 11. VEM_MAT_Poisson.m

```
1 function [D,Bs,G,Gs,H] = VEM_MAT_Poisson(aux)
2
3 % aux = auxgeometry(node,elem);
4
5 node = aux.node; elem = aux.elem;
6 elemCentroid = aux.elemCentroid;
7 diameter = aux.diameter;
8 NT = size(elem,1);
9
10 D = cell(NT,1);
11 % B = cell(NT,1); % it is not used in the computation
12 Bs = cell(NT,1);
13 G = cell(NT,1); Gs = cell(NT,1); H = cell(NT,1);
14 for iel = 1:NT
15     index = elem{iel}; Nv = length(index);
16     xK = elemCentroid(iel,1); yK = elemCentroid(iel,2); hK = diameter(iel);
17
18     m1 = @(x,y) 1 * ones(size(x));
19     m2 = @(x,y) (x-xK)./hK;
20     m3 = @(x,y) (y-yK)./hK;
21
22     m = @(x,y) [m2(x,y), m3(x,y)]; % m2,m3
23     x = node(index,1); y = node(index,2);
24
25     % D
26     D1 = zeros(Nv,3); D1(:,1) = 1;
27     D1(:,2:3) = m(x,y); D{iel} = D1;
28
29     % B, Bs, G, Gs
30     rotid1 = [Nv,1:Nv-1]; rotid2 = [2:Nv,1]; % ending and starting indices
31     Gradm = [0 0; 1./hK*[1, 0]; 1./hK*[0, 1]];
32     normVec = 0.5*[y(rotid2) - y(rotid1), x(rotid1)-x(rotid2)]'; % a ...
33     B1 = Gradm*normVec; B1s = B1; B1s(1,:) = 1/Nv;
34     % B{iel} = B1;
35     Bs{iel} = B1s;
36     G{iel} = B1*D1; Gs{iel} = B1s*D1;
37
38     % H
39     nodeT = [node(index,:);elemCentroid(iel,:)];
40     elemT = [(Nv+1)*ones(Nv,1),(1:Nv)',[2:Nv,1]'];
41     m = @(x,y) [m1(x,y).*m1(x,y), m1(x,y).*m2(x,y), m1(x,y).*m3(x,y), ...
42                 m2(x,y).*m1(x,y), m2(x,y).*m2(x,y), m2(x,y).*m3(x,y), ...
43                 m3(x,y).*m1(x,y), m3(x,y).*m2(x,y), m3(x,y).*m3(x,y)];
44     H1 = zeros(3,3);
45     H1(:) = integralTri(m,2,nodeT,elemT); % n = 2
```

```

46      H{iel} = H1;
47  end

```

注 2.5 当 m_α 较多时, H 可直接用循环求, 如

```

1      m1 = @(x,y) 1 * ones(size(x));
2      m2 = @(x,y) (x-xK)./hK;
3      m3 = @(x,y) (y-yK)./hK;
4      m = {m1,m2,m3};
5
6      H1 = zeros(3,3);
7      for i = 1:3
8          for j = 1:3
9              fun = @(x,y) m{i}(x,y).*m{j}(x,y);
10             H1(i,j) = integralTri(fun,2,nodeT,elemT);
11         end
12     end
13     H{iel} = H1;

```

2.5 Poisson 方程一阶 VEM 程序

2.5.1 问题描述

考虑更一般的问题

$$\begin{cases} -\Delta u + cu = f & \text{in } \Omega, \\ u = g_D & \text{on } \Gamma_D, \\ \partial_n u = g_N & \text{on } \Gamma_N, \end{cases}$$

虚拟元方法为: 找 $u_h \in V_h^g$, 使得

$$a_h(u_h, v) + b_h(u_h, v) = \ell_h(v), \quad v \in V_h,$$

其中,

- 空间为

$$V_h = \{v \in H_0^1(\Omega) \cap C(\bar{\Omega}) : v|_K \in V_k(K), K \in \mathcal{T}_h\},$$

$$V_h^g = \left\{v \in H^1(\Omega) \cap C(\bar{\Omega}) : v|_K \in V_k(K), K \in \mathcal{T}_h, v|_{\Gamma_D} = g_D\right\}.$$

- 双线性形式为 $a_K^h(u, v)$ 同前, 而

$$b_h(u, v) = \sum_{K \in \mathcal{T}_h} b_K^h(u, v), \quad b_K^h(u, v) = c \int_K \Pi_k^0 u \cdot \Pi_k^0 v dx.$$

- 右端为

$$\ell_h(v) = F_h(v) + \int_{\Gamma_N} g_N v ds.$$

注意, 对 $k = 1$, 自由度 $\chi_i(u_h)$ 是节点值. 这与常规情形没有什么区别, Dirichlet 条件可以直接处理; 而 v 在边界上是一次多项式, Neumann 边界条件可按一维有限元问题进行装配.

2.5.2 单元刚度矩阵的计算

为了方便, 令

$$A_K^1(i, j) = a_K(\Pi_k^\nabla \phi_j, \Pi_k^\nabla \phi_i) = \int_K \nabla(\Pi_k^\nabla \phi_j) \cdot \nabla(\Pi_k^\nabla \phi_i) dx,$$

$$A_K^2(i, j) = S_K(\phi_j - \Pi_k^\nabla \phi_j, \phi_i - \Pi_k^\nabla \phi_i) = \sum_{r=1}^{N_k} \chi_r(\phi_j - \Pi_k^\nabla \phi_j) \chi_r(\phi_i - \Pi_k^\nabla \phi_i).$$

第一式写成矩阵形式为

$$A_K^1 = \int_K \nabla \Pi_k^\nabla \phi \cdot \nabla \Pi_k^\nabla \phi^T dx = (\Pi_{k*}^\nabla)^T \int_K \nabla m \cdot \nabla m^T dx \Pi_{k*}^\nabla = (\Pi_{k*}^\nabla)^T G \Pi_{k*}^\nabla,$$

至于第二式, 由 (2.4) 知, $\chi_r(\Pi_k^\nabla \phi_i) = (\Pi_k^\nabla)_{ri}$, 于是

$$A_K^2(i, j) = \sum_{r=1}^{N_v} (I - \Pi_k^\nabla)_{ri} (I - \Pi_k^\nabla)_{rj} = \left[(I - \Pi_k^\nabla)^T (I - \Pi_k^\nabla) \right]_{ij}$$

或

$$A_K^2 = (I - \Pi_k^\nabla)^T (I - \Pi_k^\nabla).$$

类似有,

$$B_K = \int_K \Pi_k^0 \phi \cdot \Pi_k^0 \phi^T dx = (\Pi_{k*}^0)^T \int_K m m^T dx \Pi_{k*}^0 = (\Pi_{k*}^0)^T H \Pi_{k*}^0,$$

而

$$\Pi_{k*}^0 = \Pi_{k*}^\nabla, \quad k = 1.$$

如下给出单元刚度矩阵

```

1 % ----- Elementwise stiffness matrix and load vector -----
2 ABelem = cell(NT,1); belem = cell(NT,1);
3 for iel = 1:NT
4     Pis = Gs{iel}\Bs{iel};    Pi = D{iel}*Pis;    I = eye(size(Pi));
5
6     AK = Pis'*G{iel}*Pis + (I-Pi)*(I-Pi);
7     BK = pde.c*Pis'*H{iel}*Pis;    % Pis = Pi0s;
8     ABelem{iel} = reshape(AK+BK,1,[]); % straighten as row vector for easy ...
        assembly
9 end

```

注 2.6 这里对单元刚度矩阵进行了行拉直, 见后面装配的说明.

2.5.3 单元载荷向量的计算

方法 1: 右端的

$$F_K^h(v) = \int_K \Pi_{k-2}^0 f v dx,$$

当 $k = 1$ 时, 规定 $\Pi_{k-2}^0 = \Pi_0^0 = P_0$, 即常值投影, 由 (2.9) 定义, 即单元顶点值的平均. 注意到

$$F_K^h(v) = \int_K \Pi_0^0 f v dx = \int_K \Pi_0^0 f \Pi_k^0 v dx,$$

我们有单元载荷向量为

$$F_K = \int_K \Pi_0^0 f \Pi_0^0 \phi dx = f(x_K, y_K) |K| \frac{1}{N_v} [1, \dots, 1]_{N_k}^T,$$

这里为了方便, $\Pi_0^0 f$ 用中点值近似.

```

1 % Load vector
2 % % method 1
3 Nv = length(elem{iel}); Nk = Nv;
4 fK = pde.f(elemCentroid(iel,:))*area(iel)/Nv*ones(Nk,1);

```

方法 2: 在 $W_k(K)$ 中, L^2 投影 Π_k^0 是可计算的, 为此右端的近似也可改为

$$F_K^h(v) = \int_K \Pi_k^0 f v dx.$$

注意到

$$F_K^h(v) = \int_K \Pi_k^0 f v dx = \int_K \Pi_k^0 f \Pi_k^0 v dx = \int_K f \Pi_k^0 v dx,$$

此时单元载荷向量

$$F_K = \int_K f \Pi_k^0 \phi dx = (\Pi_{k*}^0)^T \int_K f m dx, \quad (2.16)$$

这里用到 (2.12). 右端的积分若采用中点型积分公式近似, 则有

$$F_K = \int_K f \Pi_k^0 \phi dx = (\Pi_{k*}^0)^T \int_K f m dx = (\Pi_{k*}^0)^T \begin{bmatrix} f(x_K, y_K) |K| \\ 0 \\ 0 \end{bmatrix}.$$

```

1 % Load vector
2 % % method 2
3 fK = Pis'*[pde.f(elemCentroid(iel,:))*area(iel);0;0];

```

方法 3: 当然, (2.16) 的右端也可用 Gauss 积分近似.

```

1 % Load vector
2 % % method 3
3 index = elem{iel}; Nv = length(index);
4 xK = elemCentroid(iel,1); yK = elemCentroid(iel,2); hK = diameter(iel);
5 m1 = @(x,y) 1*ones(size(x)); m2 = @(x,y) (x-xK)./hK; m3 = @(x,y) ...
    (y-yK)./hK;
6 nodeT = [node(index,:);elemCentroid(iel,:)];
7 elemT = [(Nv+1)*ones(Nv,1),(1:Nv)',[2:Nv,1]'];
8 m = @(x,y) pde.f([x,y]).*[m1(x,y), m2(x,y), m3(x,y)]; % f(p) = f([x,y])
9 rhs = integralTri(m,2,nodeT,elemT); rhs = rhs';
10 fK = Pis'*rhs;

```

注 2.7 这里对载荷向量进行了行拉直, 见后面装配的说明. 三种方法误差量级一致, 本文采用第二种. 注意, 对某些问题, 若没有定义 L^2 投影 Π_k^0 , 则使用第一种; 若定义了 Π_k^0 , 且是高阶方法, 则用第三种.

最终的单元刚度矩阵和载荷向量如下计算

```

1 % ----- Elementwise stiffness matrix and load vector -----
2 ABelem = cell(NT,1); belem = cell(NT,1);
3 for iel = 1:NT
4     % Projection
5     Pis = Gs{iel}\Bs{iel};    Pi = D{iel}*Pis;    I = eye(size(Pi));
6     % Stiffness matrix
7     AK = Pis'*G{iel}*Pis + (I-Pi)*(I-Pi);
8     BK = pde.c*Pis'*H{iel}*Pis; % Pis = Pi0s;
9     ABelem{iel} = reshape(AK+BK,1,[]); % straighten as row vector for easy ...
        assembly
10    % Load vector
11    fK = Pis'*[pde.f(elemCentroid(iel,:))*area(iel);0;0];
12    belem{iel} = fK'; % straighten as row vector for easy assembly
13 end

```

2.5.4 刚度矩阵与载荷向量的装配

先考虑三角剖分. $\Delta_{z_1 z_2 z_3}$ 的局部整体对应如下

$$\{1, 2, 3\} (\text{local}) \quad \rightarrow \quad \{z_1, z_2, z_3\} (\text{global}),$$

这里 z_1, z_2, z_3 是三角形顶点的整体编号, 所有三角形的可如下实现

```

1 z1 = elem(:,1); % column vector
2 z2 = elem(:,2);
3 z3 = elem(:,3);

```

- 对固定单元, 设单元刚度矩阵为

$$[K^e] = \begin{array}{c} u_i \quad u_j \quad u_l \\ \begin{array}{c|ccc} & u_i & u_j & u_l \\ u_i & k_{11} & k_{12} & k_{13} \\ u_j & k_{21} & k_{22} & k_{23} \\ u_l & k_{31} & k_{32} & k_{33} \end{array} \end{array},$$

这里左侧表示整体刚度矩阵的行指标, 上侧表示列指标. 对 k_{12} , 我们要把它放在 (i, j) 位置, 即在 (z_1, z_2) 处赋值 k_{12} , 这可用稀疏矩阵函数 `sparse` 完成. 它的用法如下

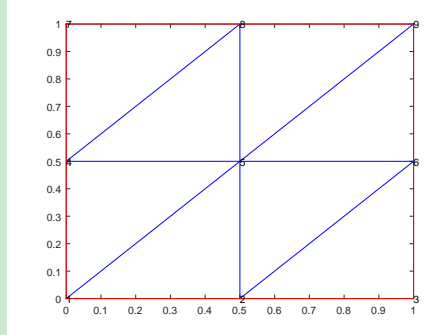
```
S = sparse(i, j, s, m, n, nzmax);
```

它分配了一个 $m \times n$ 的稀疏矩阵, 且最多有 `nzmax` 个非零分量, 其中 `i, j` 是向量, 对应分量指出非零值的位置, `s` 则是非零值的向量 (`nzmax` 可以不给出). 因此, 若想在 (z_1, z_2) 处赋值 k_{12} , 可以如下操作

```
N = size(node,1); A = sparse(z1, z2, k12, N, N);
```

该命令把所有单元刚度矩阵的 $(1,2)$ 处的值放到了整体刚度矩阵的对应位置中 (k_{12} 是列向量, 存储所有单元的).

- 我们自然会有这样的疑问: 如果有两个单元刚度矩阵 (1,2) 处的值对应相同的整体指标 (i, j) , 那么它们应该相加, 而不是简单的赋值. 事实上, 前面已经提到, 在 MATLAB 中, `sparse` 中出现相同指标规定为相加, 因而如果的确出现, 则本身已经解决. 我们要说的是, 对非对角线元素, 上面提到的情形是不可能出现的.



只需要考虑共享一条边的三角形, 因为出现相同整体指标 (i, j) , 意味着单元三角形有共同的边 $i - j$. 不失一般性, 以图中的 1-5 边为例. 根据逆时针规则, 对三角形 $\Delta z_5 z_1 z_2$ 中, 顺序如下

$$[K^e] = \begin{array}{ccc|c} u_5 & u_1 & u_2 & \\ \hline k_{11} & k_{12} & k_{13} & u_5 \\ k_{21} & k_{22} & k_{23} & u_1 \\ k_{31} & k_{32} & k_{33} & u_2 \end{array},$$

即 k_{12} 对应整体指标 (5,1). 而对 $\Delta z_1 z_5 z_4$, 一定不会出现 k_{12} 对应 (5,1), 只可能出现 (1,5), (5,4), (4,1). 这表明, 的确不会出现上面考虑的共同整体指标 (i, j) 的情形. 但不管怎么样, 对角线还是会出现相同位置的, 这也许是 MATLAB 中规定 `sparse` 相同指标函数值相加的原因.

- 上面的分析表明, 我们只要把单元刚度矩阵相同局部位置的三元组向量 (i, j, s) 获得, 用 `sparse(i, j, s, N, N)` 就处理好了该局部位置. 其他位置同样处理. 一个快速的装配方式是把所有局部位置的 (i, j, s) 拼接在一起实现, 即

$$\begin{bmatrix} \mathbf{i}_{11} & \mathbf{j}_{11} & \mathbf{s}_{11} \\ \mathbf{i}_{12} & \mathbf{j}_{12} & \mathbf{s}_{12} \\ \vdots & \vdots & \vdots \\ \mathbf{i}_{33} & \mathbf{j}_{33} & \mathbf{s}_{33} \end{bmatrix}$$

这里按行优先的顺序排列. 注意每个 \mathbf{i}_{ij} 都对应 N_T 个单元, 从而 \mathbf{i} 共有 $N_T \times N_{dof}^2$ 个元素, 其中, $N_{dof} = 3$ 表示单元的自由度个数. 核心代码如下

CODE 12. `sparse` 装配指标

```
1 NT = size(elem,1); Ndof = 3; nnz = NT*Ndof^2;
2 ii = zeros(nnz,1); jj = zeros(nnz,1); ss = zeros(nnz,1);
3 id = 0;
4 for i = 1:Ndof
5     for j = 1:Ndof
6         ii(id+1:id+NT) = elem(:,i); % zi
```

```

7         jj(id+1:id+NT) = elem(:,j); % zj
8         ss(id+1:id+NT) = K(:,i,j); % kij
9         id = id + NT;
10     end
11 end

```

这里假设 (i, j) 位置的单元刚度矩阵值用三维数组存储。

注 2.8 可用向量法给出 ii , jj , 考虑到只是简单的赋值, 这里不这样处理, 以体现直观. 也可事先将每个单元刚度矩阵按行拉成一行, 然后逐个单元堆成一个矩阵, 则 ss 可由该矩阵按列拉直得到. 后面将采用这种处理, 为此在生成单元刚度矩阵时, 我们进行行拉直.

- 用稀疏矩阵, 右端可如下实现

```

1 b = sparse(z1,1,F1,N,1);
2 b = b+sparse(z2,1,F2,N,1);
3 b = b+sparse(z3,1,F3,N,1);

```

这里, $F1$ 是所有单元载荷第 1 个位置的元素组成的向量. 当然也可用

```

1 ii = elem(:); jj = 1; ss = [F1;F2;F3]; % elem(:) = [z1;z2;z3]
2 b = sparse(ii,jj,ss,N,1);

```

b 一般不是稀疏的, 存储稀疏的形式访问起来会麻烦. 我们可用下面的语句代替

```

1 b = accumarray(elem(:),[F1;F2;F3],[N 1]);

```

同理, 右端向量也按行拉直存储.

上面的思路只适合相同类型的单元剖分. 对一般的多角形剖分, 我们可对不同构型进行, 即把相同单元的放在一起, 逐一考虑.

- 首先可找到所有的构型

```
elemLen = cellfun('length',elem); vertNum = unique(elemLen);
```

假设现在只有 4,5,6,7 边形, 且分别有 N_4, N_5, N_6, N_7 个.

- 对 4 边形, 用 $N_v = 4$; $idN_v = \text{find}(\text{elemLen}==N_v)$; 可找到所有 4 边形的序号. 比如, 第 67, 82 这两个单元是 4 边形. 对这两个相同构型的单元, 我们就可按照之前的思路进行装配, 找到相应的三元组, 记为 (i_4, j_4, s_4) . 类似可找到其他构型的, 分别记为 (i_5, j_5, s_5) , (i_6, j_6, s_6) , (i_7, j_7, s_7) . 由此就可生成最终的三元组

$$(i, j, s) := \begin{bmatrix} i_4 & j_4 & s_4 \\ i_5 & j_5 & s_5 \\ i_6 & j_6 & s_6 \\ i_7 & j_7 & s_7 \end{bmatrix}.$$

注意, nnz 是所有单元刚度矩阵的元素个数之和, 即 $nnz = \text{sum}(\text{elemLen}.^2)$.

装配程序如下

CODE 13. Poisson 方程 VEM 的 sparse 装配指标

```

1 % ----- Assemble the stiffness matrix and load vector -----
2 elemLen = cellfun('length',elem); vertNum = unique(elemLen);
3 nnz = sum(elemLen.^2);
4 ii = zeros(nnz,1); jj = zeros(nnz,1); ss = zeros(nnz,1);
5
6 id = 0; ff = zeros(N,1);
7 for Nv = vertNum(:)' % only valid for row vector
8
9     % assemble the matrix
10    idNv = find(elemLen == Nv); % find polygons with Nv vertices
11    NTv = length(idNv); % number of elements with Nv vertices
12
13    elemNv = cell2mat(elem(idNv)); % elem
14    K = cell2mat(ABelem(idNv)); F = cell2mat(belem(idNv));
15    s = 1; Ndof = Nv;
16    for i = 1:Ndof
17        for j = 1:Ndof
18            ii(id+1:id+NTv) = elemNv(:,i); % zi
19            jj(id+1:id+NTv) = elemNv(:,j); % zj
20            ss(id+1:id+NTv) = K(:,s);
21            id = id + NTv; s = s+1;
22        end
23    end
24
25    % assemble the vector
26    ff = ff + accumarray(elemNv(:),F(:),[N 1]);
27 end
28 kk = sparse(ii,jj,ss,N,N);

```

2.5.5 边界条件的处理

下面考虑 Neumann 边界条件. 用梯形公式近似 (或用中心格式), 例如

$$\int_{\Gamma^e} \frac{\partial u}{\partial n} \phi_1 ds = \frac{h_e}{2} \left(\frac{\partial u}{\partial n}(z_1) \phi_1(z_1) + \frac{\partial u}{\partial n}(z_2) \phi_1(z_2) \right) = \frac{h_e}{2} \frac{\partial u}{\partial n}(z_1) = \frac{h_e q(z_1)}{2},$$

$$\int_{\Gamma^e} \frac{\partial u}{\partial n} \phi_2 ds = \frac{h_e}{2} \left(\frac{\partial u}{\partial n}(z_1) \phi_2(z_1) + \frac{\partial u}{\partial n}(z_2) \phi_2(z_2) \right) = \frac{h_e}{2} \frac{\partial u}{\partial n}(z_2) = \frac{h_e q(z_2)}{2},$$

其中

$$h_e = |z_j - z_i| = \sqrt{(x_j - x_i)^2 + (y_j - y_i)^2}.$$

为此, 我们必须给出在每条 Neumann 边 Γ^e 上 $g_N = \partial_n u$ 的值. 注意到

$$h_e \frac{\partial u}{\partial n} = h_e \nabla u \cdot \vec{n} = \nabla u \cdot (h_e \vec{n}),$$

而 $h_e \vec{n}$ 恰是定向边 e 顺时针旋转 90° 或 $-e$ 逆时针旋转 90° 所得. 这样, 设 $-e$ 的坐标为 (a, b) , 则 $h_e \vec{n}$ 的坐标为 $(-b, a)$.

我们在 Poissondata.m 定义 $g_N = [u_x(x, y), u_y(x, y)]$, 结合一维问题的装配算法, 我们有 Neumann 边界条件的如下处理.

```

1 % ----- Neumann boundary condition -----
2 elemN = bdStruct.elemN;
3 if ~isempty(elemN)
4     g_N = pde.g_N;
5     z1 = node(elemN(:,1),:); z2 = node(elemN(:,2),:);
6     e = z1-z2; % e = z2-z1
7     ne = [-e(:,2),e(:,1)]; % scaled ne
8     F1 = sum(ne.*g_N(z1),2)./2;
9     F2 = sum(ne.*g_N(z2),2)./2;
10    FN = [F1,F2];
11    ff = ff + accumarray(elemN(:), FN(:),[N 1]);
12 end

```

Dirichlet 边界条件比较容易, 如下

```

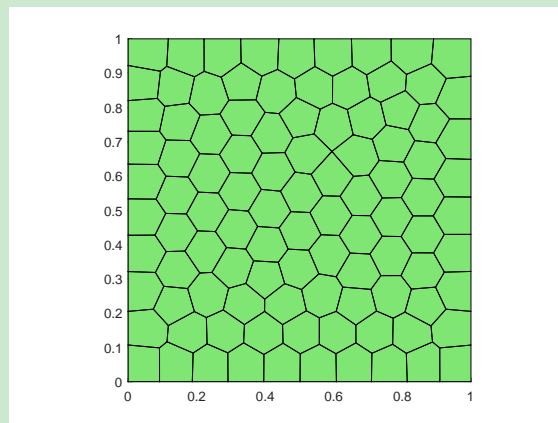
1 % ----- Dirichlet boundary condition -----
2 g_D = pde.g_D; eD = bdStruct.eD;
3 isBdNode = false(N,1); isBdNode(eD) = true;
4 bdNode = find(isBdNode); freeNode = find(~isBdNode);
5 pD = node(bdNode,:);
6 u = zeros(N,1); uD = g_D(pD); u(bdNode) = uD(:);
7 ff = ff - kk*u;

```

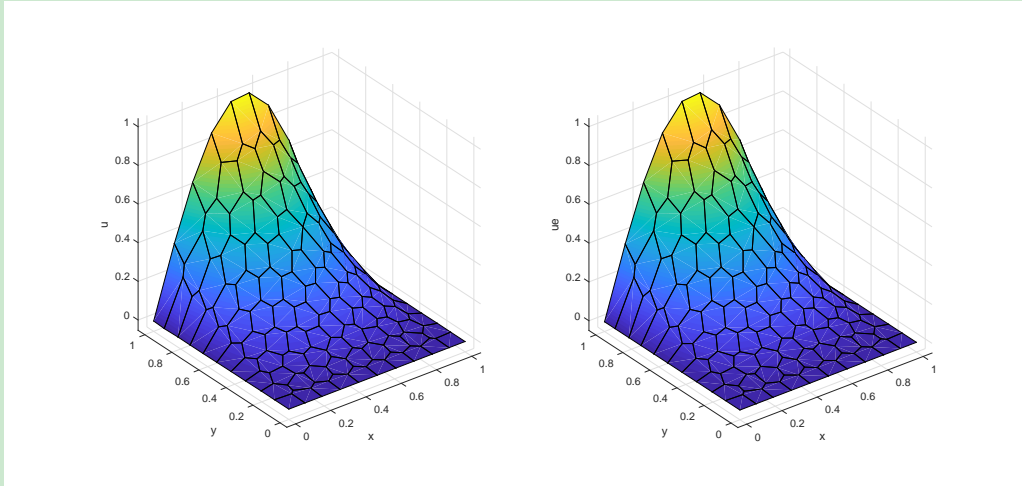
2.5.6 程序整理

例 2.1 设精确解为 $u(x, y) = y^2 \sin(\pi x)$, $\Omega = (0, 1)^2$.

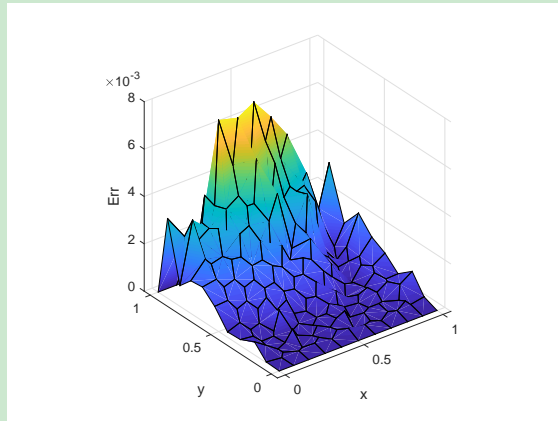
网格剖分由 tool 文件夹下的 meshfun.m 生成, 保存为 meshdata.mat, 网格图示如下



设区域的左侧和右侧为 Neumann 边界, 数值解和精确解的图像如下



绝对误差为



主程序为

CODE 14. main_PoissonVEM.m

```
1 clc;clear;close all
2 tic;
3 % ----- Mesh -----
4 % generated by meshfun.m in tool
5 load meshdata.mat;
6 figure, showmesh(node,elem);
7 % findnode(node); % findelem(node,elem);
8
9 % ----- PDE data -----
10 pde = Poissondata();
11 bdNeumann = 'abs(x-1)<1e-4 | abs(x-0)<1e-4'; % string for Neumann
12 bdStruct = setboundary(node,elem,bdNeumann);
13
14 % ----- Solve the problem -----
15 u = PoissonVEM(node,elem,pde,bdStruct);
16
17 % ----- error analysis -----
18 uexact = pde.uexact; ue = uexact(node);
19 figure,
```

```

20 subplot(1,2,1), showsolution(node,elem,u); zlabel('u');
21 subplot(1,2,2), showsolution(node,elem,ue); zlabel('ue');
22 Eabs = abs(u-ue);
23 figure, showsolution(node,elem,Eabs); zlim('auto'); zlabel('Err');
24 format shorte;
25 Err = norm(Eabs)/norm(ue)
26 toc

```

函数文件为

CODE 15. PoissonVEM.m

```

1 function u = PoissonVEM(node,elem,pde,bdStruct)
2
3 aux = auxgeometry(node,elem);
4 node = aux.node; elem = aux.elem;
5 elemCentroid = aux.elemCentroid; area = aux.area;
6
7 N = size(node,1); NT = size(elem,1);
8 % ----- D,Bs,G,Gs,H -----
9 [D,Bs,G,Gs,H] = VEM_MAT_Poisson(aux);
10
11 % ----- Elementwise stiffness matrix and load vector -----
12 ABelem = cell(NT,1); belem = cell(NT,1);
13 for iel = 1:NT
14     % Projection
15     Pis = Gs{iel}\Bs{iel}; Pi = D{iel}*Pis; I = eye(size(Pi));
16     % Stiff matrix
17     AK = Pis'*G{iel}*Pis + (I-Pi)*(I-Pi);
18     BK = pde.c*Pis'*H{iel}*Pis; % Pis = Pi0s;
19     ABelem{iel} = reshape(AK+BK,1,[]); % straighten as row vector for easy ...
        assembly
20     % Load vector
21     fK = Pis'*[pde.f(elemCentroid(iel,:))*area(iel);0;0];
22     belem{iel} = fK'; % straighten as row vector for easy assembly
23 end
24
25 % ----- Assemble the stiff matrix and load vector -----
26 elemLen = cellfun('length',elem); vertNum = unique(elemLen);
27 nnz = sum(elemLen.^2);
28 ii = zeros(nnz,1); jj = zeros(nnz,1); ss = zeros(nnz,1);
29
30 id = 0; ff = zeros(N,1);
31 for Nv = vertNum(:)' % only valid for row vector
32
33     % assemble the matrix
34     idNv = find(elemLen == Nv); % find polygons with Nv vertices
35     NTv = length(idNv); % number of elements with Nv vertices
36
37     elemNv = cell2mat(elem(idNv)); % elem
38     K = cell2mat(ABelem(idNv)); F = cell2mat(belem(idNv));

```



```

39     s = 1; Ndof = Nv;
40     for i = 1:Ndof
41         for j = 1:Ndof
42             ii(id+1:id+NTv) = elemNv(:,i); % zi
43             jj(id+1:id+NTv) = elemNv(:,j); % zj
44             ss(id+1:id+NTv) = K(:,s);
45             id = id + NTv; s = s+1;
46         end
47     end
48
49     % assemble the vector
50     ff = ff + accumarray(elemNv(:),F(:),[N 1]);
51 end
52 kk = sparse(ii,jj,ss,N,N);
53
54 % ----- Neumann boundary condition -----
55 elemN = bdStruct.elemN;
56 if ~isempty(elemN)
57     g_N = pde.g_N;
58     z1 = node(elemN(:,1),:); z2 = node(elemN(:,2),:);
59     e = z1-z2; % e = z2-z1
60     ne = [-e(:,2),e(:,1)]; % scaled ne
61     F1 = sum(ne.*g_N(z1),2)./2;
62     F2 = sum(ne.*g_N(z2),2)./2;
63     FN = [F1,F2];
64     ff = ff + accumarray(elemN(:), FN(:),[N 1]);
65 end
66
67 % ----- Dirichlet boundary condition -----
68 g_D = pde.g_D; eD = bdStruct.eD;
69 isBdNode = false(N,1); isBdNode(eD) = true;
70 bdNode = find(isBdNode); freeNode = find(~isBdNode);
71 pD = node(bdNode,:);
72 u = zeros(N,1); uD = g_D(pD); u(bdNode) = uD(:);
73 ff = ff - kk*u;
74
75 % ----- Solver -----
76 u(freeNode) = kk(freeNode,freeNode)\ff(freeNode);

```

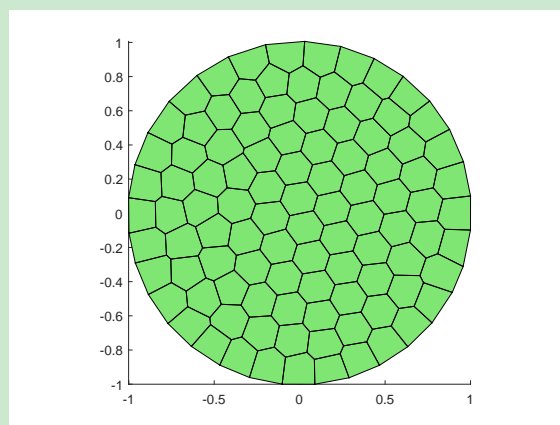
注 2.9 涉及到的其他函数文件见 GitHub. 上面的主程序也可直接改为其他区域的例子. 例如, 我们给出了单位圆的剖分数据 meshdataCircle.m, 可规定上半圆部分为 Neumann 边界:

bdNeumann = '(abs(x.^2+y.^2-1)<1e-1)& (y>=0)'; %string for Neumann (circle)
或直接写为

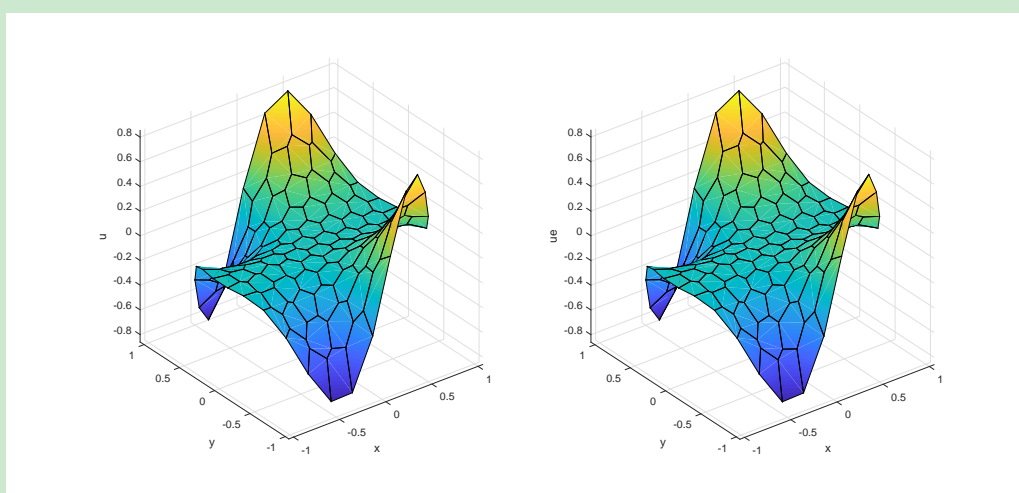
bdNeumann = 'y>=0'; %string for Neumann (circle)

这种写法更好, 因为对较粗的剖分, 边界上的部分离单位圆边界差很远, 而且我们的判断条件是针对剖分的边界 bdEdge 进行的.

网格剖分如下



数值解与精确解为



3 线弹性边值问题的一阶虚拟元方法

3.1 线弹性边值问题简介

3.1.1 问题说明

设弹性体未受外力时所在区域为 $\Omega \subset \mathbb{R}^3$. 当它受体力 \mathbf{f} (在 Ω 中), 在 Ω 的一部分边界 Γ_1 受表面力 \mathbf{g} , 而在另一部分边界 Γ_0 上固定位移 $\mathbf{u} = \mathbf{0}$ 时, 弹性体就产生位移 \mathbf{u} . 在平衡状态下, 位移 \mathbf{u} 所满足的边值问题为

$$\begin{cases} -\partial_j \sigma_{ij}(\mathbf{u}) = f_i, & i = 1, 2, 3 \quad \text{in } \Omega, \\ \mathbf{u} = \mathbf{0} & \text{on } \Gamma_0, \\ \sigma_{ij}(\mathbf{u})n_j = g_i, & i = 1, 2, 3 \quad \text{on } \Gamma_1, \end{cases} \quad (3.17)$$

这里约定: 凡在每一项中指标重复出现意味着从 1 到 3 (三维) 或 2 (二维) 求和. 上面的方程也可写为

$$\begin{cases} -\operatorname{div} \boldsymbol{\sigma} = \mathbf{f} & \text{in } \Omega, \\ \mathbf{u} = \mathbf{0} & \text{on } \Gamma_0, \\ \boldsymbol{\sigma} \mathbf{n} = \mathbf{g} & \text{on } \Gamma_1, \end{cases}$$

其中向量规定为列向量, 而 $\operatorname{div} \boldsymbol{\sigma}$ 是对矩阵 $\boldsymbol{\sigma}$ 的每行进行 (注意它是对称矩阵).

在以上式子中, 第一式为平衡方程, 其中的 σ_{ij} 为应力张量, 它与应变张量 $\varepsilon_{ij}(\mathbf{u})$ 满足如下的本构关系 (均匀的各项同性弹性体的 Hooke 定律)

$$\sigma_{ij}(\mathbf{u}) = \sigma_{ji}(\mathbf{u}) = \lambda \varepsilon_{kk}(\mathbf{u}) \delta_{ij} + 2\mu \varepsilon_{ij}(\mathbf{u}), \quad (3.18)$$

$$\varepsilon_{ij}(\mathbf{u}) = \varepsilon_{ji}(\mathbf{u}) = \frac{1}{2}(\partial_j u_i + \partial_i u_j), \quad (3.19)$$

而 λ 和 μ 为 Lamé 系数. 注意, 这里 $\varepsilon_{kk}(\mathbf{u})$ 按规定是对指标求和的, 显然有 (标量)

$$\varepsilon_{kk}(\mathbf{u}) = \partial_k u_k = \operatorname{div} \mathbf{u}.$$

这样, 平衡方程也可写为如下的紧凑形式

$$-\operatorname{div} (\lambda(\operatorname{div} \mathbf{u}) \mathbf{I} + 2\mu \boldsymbol{\varepsilon}(\mathbf{u})) = \mathbf{f} \quad \text{in } \Omega.$$

把 (3.18)-(3.19) 代入 (3.17), 可获得平衡方程的另一形式

$$-\mu \Delta \mathbf{u} - (\lambda + \mu) \operatorname{grad}(\operatorname{div} \mathbf{u}) = \mathbf{f} \quad \text{in } \Omega, \quad (3.20)$$

有时候会直接考虑该方程, 因为其中每个算子都是熟悉的.

3.1.2 连续变分问题

设

$$V = \left\{ \mathbf{v} \in H^1(\Omega)^3 : \mathbf{v} = \mathbf{0} \quad \text{on } \Gamma_0 \right\}, \quad (3.21)$$

令 $\mathbf{v} = (v_1, v_2, v_3)^T \in V$, 在 (3.17) 的平衡方程的两边乘以 v_i , 有

$$\int_{\Omega} -\partial_j \sigma_{ij}(\mathbf{u}) v_i dx = \int_{\Omega} f_i v_i dx,$$

这里遵循求和约定, 即上式实际上是求和. 分部积分有

$$-\int_{\partial\Omega} \sigma_{ij}(\mathbf{u}) v_i n_j ds + \int_{\Omega} \sigma_{ij}(\mathbf{u}) \partial_j v_i dx = \int_{\Omega} f_i v_i dx$$

或

$$-\int_{\partial\Omega} g_i v_i ds + \int_{\Omega} \sigma_{ij}(\mathbf{u}) \partial_j v_i dx = \int_{\Omega} f_i v_i dx.$$

由对称性,

$$\sigma_{ij}(\mathbf{u}) \partial_j v_i = \sigma_{ij}(\mathbf{u}) \frac{1}{2} (\partial_j v_i + \partial_i v_j) = \sigma_{ij}(\mathbf{u}) \varepsilon_{ij}(\mathbf{v}),$$

故

$$\int_{\Omega} \sigma_{ij}(\mathbf{u}) \varepsilon_{ij}(\mathbf{v}) dx = \int_{\Omega} \mathbf{f} \cdot \mathbf{v} dx + \int_{\Gamma_1} \mathbf{g} \cdot \mathbf{v} ds.$$

于是, 变分问题为: 求 $\mathbf{u} \in V$ 使得,

$$a(\mathbf{u}, \mathbf{v}) = \ell(\mathbf{v}), \quad \mathbf{v} \in V,$$

式中,

$$a(\mathbf{u}, \mathbf{v}) = \int_{\Omega} \sigma_{ij}(\mathbf{u}) \varepsilon_{ij}(\mathbf{v}) dx, \quad \ell(\mathbf{v}) = \int_{\Omega} \mathbf{f} \cdot \mathbf{v} dx + \int_{\Gamma_1} \mathbf{g} \cdot \mathbf{v} ds.$$

文献中一般习惯引入如下记号

$$\mathbf{A} : \mathbf{B} = \sum_{ij} a_{ij} b_{ij}, \quad \mathbf{A} = (a_{ij}), \quad \mathbf{B} = (b_{ij}),$$

从而双线性形式可写为

$$a(\mathbf{u}, \mathbf{v}) = \int_{\Omega} \boldsymbol{\sigma}(\mathbf{u}) : \boldsymbol{\varepsilon}(\mathbf{v}) dx.$$

注意到

$$\begin{aligned} \sigma_{ij}(\mathbf{u}) \varepsilon_{ij}(\mathbf{v}) &= (\lambda \varepsilon_{kk}(\mathbf{u}) \delta_{ij} + 2\mu \varepsilon_{ij}(\mathbf{u})) \varepsilon_{ij}(\mathbf{v}) \\ &= (\lambda \partial_k u_k \delta_{ij} + 2\mu \varepsilon_{ij}(\mathbf{u})) \varepsilon_{ij}(\mathbf{v}) \\ &= 2\mu \varepsilon_{ij}(\mathbf{u}) \varepsilon_{ij}(\mathbf{v}) + \lambda \partial_k u_k \varepsilon_{ii}(\mathbf{v}) \\ &= 2\mu \varepsilon_{ij}(\mathbf{u}) \varepsilon_{ij}(\mathbf{v}) + \lambda \partial_k u_k \partial_i u_i, \end{aligned}$$

双线性形式还可写为

$$\begin{aligned} a(\mathbf{u}, \mathbf{v}) &= 2\mu \int_{\Omega} \varepsilon_{ij}(\mathbf{u}) \varepsilon_{ij}(\mathbf{v}) dx + \lambda \int_{\Omega} \partial_i u_i \partial_j v_j dx, \\ &= 2\mu \int_{\Omega} \boldsymbol{\varepsilon}(\mathbf{u}) : \boldsymbol{\varepsilon}(\mathbf{v}) dx + \lambda \int_{\Omega} (\operatorname{div} \mathbf{u})(\operatorname{div} \mathbf{v}) dx. \end{aligned} \tag{3.22}$$

注 3.1 也可采用 (3.20) 的形式, 具体写出来即

$$\begin{cases} -\mu \Delta u_1 - (\lambda + \mu) \partial_x (\operatorname{div} \mathbf{u}) = f_1, \\ -\mu \Delta u_2 - (\lambda + \mu) \partial_y (\operatorname{div} \mathbf{u}) = f_2, \end{cases}$$

注意 $\operatorname{div} \mathbf{u}$ 是标量. 第一式乘以 v_1 , 并分部积分有

$$\begin{aligned} &\mu \left(\int_{\Omega} \nabla u_1 \cdot \nabla v_1 dx - \int_{\partial\Omega} \partial_n u_1 v_1 ds \right) \\ &\quad - (\lambda + \mu) \left(\int_{\partial\Omega} (\operatorname{div} \mathbf{u}) v_1 n_x ds - \int_{\Omega} (\operatorname{div} \mathbf{u}) \partial_x v_1 dx \right) = \int_{\Omega} f_1 v_1 dx. \end{aligned}$$

类似可获得第二个式子对应的结果, 将它们相加有

$$\begin{aligned} & \mu \int_{\Omega} \nabla \mathbf{u} \cdot \nabla \mathbf{v} dx + (\lambda + \mu) \int_{\Omega} (\operatorname{div} \mathbf{u})(\operatorname{div} \mathbf{v}) dx \\ & - \mu \int_{\partial\Omega} \partial_n \mathbf{u} \cdot \mathbf{v} ds - (\lambda + \mu) \int_{\partial\Omega} (\operatorname{div} \mathbf{u})(\mathbf{v} \cdot \mathbf{n}) ds = \int_{\Omega} \mathbf{f} \cdot \mathbf{v} dx. \end{aligned} \quad (3.23)$$

这里, $\nabla \mathbf{u} \cdot \nabla \mathbf{v} = \nabla u_1 \cdot \nabla v_1 + \nabla u_2 \cdot \nabla v_2$.

3.1.3 近似变分形式 I

先考虑 (3.23) 的近似变分形式, 令

$$\begin{aligned} a^K(\mathbf{u}, \mathbf{v}) &= \mu \int_K \nabla \mathbf{u} \cdot \nabla \mathbf{v} dx + (\lambda + \mu) \int_K (\operatorname{div} \mathbf{u})(\operatorname{div} \mathbf{v}) dx \\ &=: \mu a_{\nabla}^K(\mathbf{u}, \mathbf{v}) + (\lambda + \mu) a_{\operatorname{div}}^K(\mathbf{u}, \mathbf{v}) \end{aligned}$$

式中,

$$a_{\nabla}^K(\mathbf{u}, \mathbf{v}) = \int_K \nabla \mathbf{u} \cdot \nabla \mathbf{v} dx, \quad a_{\operatorname{div}}^K(\mathbf{u}, \mathbf{v}) = \int_K (\operatorname{div} \mathbf{u})(\operatorname{div} \mathbf{v}) dx.$$

每个分量的虚拟元空间仍取为 $V_k(K)$, 从而向量型问题的虚拟元空间为

$$\mathbf{V}_k(K) = (V_k(K))^2.$$

设 $a_{\nabla}^K(\mathbf{u}, \mathbf{v})$ 和 $a_{\operatorname{div}}^K(\mathbf{u}, \mathbf{v})$ 对应的近似双线性形式分别为 $a_{h,\nabla}^K(\mathbf{u}, \mathbf{v})$ 和 $a_{h,\operatorname{div}}^K(\mathbf{u}, \mathbf{v})$, 则虚拟元方法的近似双线性形式为

$$a_h^K(\mathbf{u}, \mathbf{v}) := \mu a_{h,\nabla}^K(\mathbf{u}, \mathbf{v}) + (\lambda + \mu) a_{h,\operatorname{div}}^K(\mathbf{u}, \mathbf{v}).$$

根据文献,

$$\begin{aligned} a_{h,\nabla}^K(\mathbf{u}, \mathbf{v}) &= a_{\nabla}^K(\Pi^{\nabla} \mathbf{u}, \Pi^{\nabla} \mathbf{v}) + S^K(\mathbf{u} - \Pi^{\nabla} \mathbf{u}, \mathbf{v} - \Pi^{\nabla} \mathbf{v}), \\ a_{h,\operatorname{div}}^K(\mathbf{u}, \mathbf{v}) &= \int_K \Pi_{k-1}^0(\operatorname{div} \mathbf{u}) \Pi_{k-1}^0(\operatorname{div} \mathbf{v}) dx, \end{aligned}$$

而稳定双线性形式为 ($k = 1$)

$$S^K(\mathbf{u}, \mathbf{v}) = \sum_{i=1}^{N_{\operatorname{dof}}} \operatorname{dof}_i(\mathbf{u}) \cdot \operatorname{dof}_i(\mathbf{v}).$$

稍后解释这里的投影算子.

3.1.4 近似变分形式 II

考虑 (3.22) 的变分问题, 令

$$\begin{aligned} a^K(\mathbf{u}, \mathbf{v}) &= 2\mu \int_K \varepsilon_{ij}(\mathbf{u}) \varepsilon_{ij}(\mathbf{v}) dx + \lambda \int_K \partial_i u_i \partial_j v_j dx \\ &= 2\mu \int_K \boldsymbol{\varepsilon}(\mathbf{u}) : \boldsymbol{\varepsilon}(\mathbf{v}) dx + \lambda \int_K (\operatorname{div} \mathbf{u})(\operatorname{div} \mathbf{v}) dx \\ &=: 2\mu a_{\mu}^K(\mathbf{u}, \mathbf{v}) + \lambda a_{\lambda}^K(\mathbf{u}, \mathbf{v}), \end{aligned}$$

式中,

$$a_{\mu}^K(\mathbf{u}, \mathbf{v}) = \int_K \varepsilon_{ij}(\mathbf{u}) \varepsilon_{ij}(\mathbf{v}) dx = \int_K \boldsymbol{\varepsilon}(\mathbf{u}) : \boldsymbol{\varepsilon}(\mathbf{v}) dx,$$

$$a_\lambda^K(\mathbf{u}, \mathbf{v}) = \int_K \partial_i u_i \partial_j v_j dx = \int_K (\operatorname{div} \mathbf{u})(\operatorname{div} \mathbf{v}) dx.$$

设 $a_\mu^K(\mathbf{u}, \mathbf{v})$ 和 $a_\lambda^K(\mathbf{u}, \mathbf{v})$ 对应的近似双线性形式分别为 $a_{h,\mu}^K(\mathbf{u}, \mathbf{v})$ 和 $a_{h,\lambda}^K(\mathbf{u}, \mathbf{v})$, 则虚拟元方法的近似双线性形式为

$$a_h^K(\mathbf{u}, \mathbf{v}) := 2\mu a_{h,\mu}^K(\mathbf{u}, \mathbf{v}) + \lambda a_{h,\lambda}^K(\mathbf{u}, \mathbf{v}).$$

根据文献,

$$a_{h,\mu}^K(\mathbf{u}, \mathbf{v}) = a_\mu^K(\Pi^\alpha \mathbf{u}, \Pi^\alpha \mathbf{v}) + S^K(\mathbf{u} - \Pi^\alpha \mathbf{u}, \mathbf{v} - \Pi^\alpha \mathbf{v}),$$

$$a_{h,\lambda}^K(\mathbf{u}, \mathbf{v}) = \int_K \Pi_{k-1}^0(\operatorname{div} \mathbf{u}) \Pi_{k-1}^0(\operatorname{div} \mathbf{v}) dx,$$

稍后解释这里的投影算子.

3.2 刚度矩阵和载荷向量的装配

3.2.1 矩阵分析法

对 $\mathbf{u} = [u_1, u_2]^T$, 为了避免下标的混乱, 我们记 $\bar{u} = u_1$ 和 $\underline{u} = u_2$, 相应的节点基展开为

$$\bar{u} = \bar{u}_1 \varphi_1 + \cdots + \bar{u}_N \varphi_N = \Psi \bar{U}, \quad \underline{u} = \underline{u}_1 \varphi_1 + \cdots + \underline{u}_N \varphi_N = \Psi \underline{U},$$

其中,

$$\Psi = [\varphi_1, \cdots, \varphi_N]^T, \quad \bar{U} = [\bar{u}_1, \cdots, \bar{u}_N]^T, \quad \underline{U} = [\underline{u}_1, \cdots, \underline{u}_N]^T.$$

于是,

$$\mathbf{u} = \sum_{i=1}^N \bar{u}_i \bar{\varphi}_i + \sum_{i=1}^N \underline{u}_i \underline{\varphi}_i,$$

式中,

$$\bar{\varphi}_j = \begin{bmatrix} \varphi_j \\ 0 \end{bmatrix}, \quad \underline{\varphi}_j = \begin{bmatrix} 0 \\ \varphi_j \end{bmatrix}, \quad j = 1, \cdots, N.$$

为了方便, 用 a 代替 a_h , 有

$$a(\mathbf{u}, \mathbf{v}) = a(\bar{\mathbf{u}}, \bar{\mathbf{v}}) + a(\bar{\mathbf{u}}, \underline{\mathbf{v}}) + a(\underline{\mathbf{u}}, \bar{\mathbf{v}}) + a(\underline{\mathbf{u}}, \underline{\mathbf{v}}).$$

而

$$a(\bar{\mathbf{u}}, \bar{\mathbf{v}}) = \sum_{i,j=1}^N a(\bar{\varphi}_i, \bar{\varphi}_j) \bar{u}_i \bar{v}_j = \bar{V}^T A_{11} \bar{U}, \quad A_{11}(j, i) = a(\bar{\varphi}_i, \bar{\varphi}_j),$$

$$a(\bar{\mathbf{u}}, \underline{\mathbf{v}}) = \sum_{i,j=1}^N a(\bar{\varphi}_i, \underline{\varphi}_j) \bar{u}_i \underline{v}_j = \underline{V}^T A_{21} \bar{U}, \quad A_{21}(j, i) = a(\bar{\varphi}_i, \underline{\varphi}_j),$$

$$a(\underline{\mathbf{u}}, \bar{\mathbf{v}}) = \bar{V}^T A_{12} \underline{U}, \quad A_{12}(j, i) = a(\underline{\varphi}_i, \bar{\varphi}_j),$$

$$a(\underline{\mathbf{u}}, \underline{\mathbf{v}}) = \underline{V}^T A_{22} \underline{U}, \quad A_{22}(j, i) = a(\underline{\varphi}_i, \underline{\varphi}_j),$$

于是

$$\begin{aligned} a(\mathbf{u}, \mathbf{v}) &= \bar{V}^T A_{11} \bar{U} + \underline{V}^T A_{21} \bar{U} + \bar{V}^T A_{12} \underline{U} + \underline{V}^T A_{22} \underline{U} \\ &= [\bar{V}^T, \underline{V}^T] \begin{bmatrix} A_{11} & A_{12} \\ A_{21} & A_{22} \end{bmatrix} \begin{bmatrix} \bar{U} \\ \underline{U} \end{bmatrix} =: V^T A U. \end{aligned}$$

特别地, 把 $a(\mathbf{u}, \mathbf{v})$ 换成 $a_K(\mathbf{u}, \mathbf{v})$, 相应地有单元上的矩阵 A_{ij}^K , 它贡献给 A_{ij} , 且按照标量情形进行装配.

对右端的线性形式, 有

$$\ell(\mathbf{v}) = \ell(\bar{\mathbf{v}}) + \ell(\underline{\mathbf{v}}),$$

而

$$\begin{aligned}\ell(\bar{\mathbf{v}}) &= \sum_{i=1}^N \bar{v}_i \ell(\bar{\varphi}_i) = \bar{\mathbf{V}}^T \mathbf{F}_1, \quad \mathbf{F}_1 = [\ell(\bar{\varphi}_1), \dots, \ell(\bar{\varphi}_N)]^T, \\ \ell(\underline{\mathbf{v}}) &= \sum_{i=1}^N v_i \ell(\underline{\varphi}_i) = \underline{\mathbf{V}}^T \mathbf{F}_2, \quad \mathbf{F}_2 = [\ell(\underline{\varphi}_1), \dots, \ell(\underline{\varphi}_N)]^T,\end{aligned}$$

于是

$$\ell(\mathbf{v}) = [\bar{\mathbf{V}}^T, \underline{\mathbf{V}}^T] \begin{bmatrix} \mathbf{F}_1 \\ \mathbf{F}_2 \end{bmatrix} =: \mathbf{V}^T \mathbf{F}.$$

注 3.2 对 A_{ij} , 例如, $A_{21} = a(\bar{\varphi}_i, \underline{\varphi}_j)$, 双线性形式中只会留下 (\underline{v}, \bar{u}) 这样的配对项. 这对应标量情形的计算. 其他项以及右端类似.

3.2.2 sparse 装配指标

先考虑三角形单元. 刚度矩阵

$$\mathbf{A} = \begin{bmatrix} A_{11} & A_{12} \\ A_{21} & A_{22} \end{bmatrix}$$

的每个块都可直接按照标量情形的方法进行装配, 即用 `sparse(ii, jj, ss, N, N)` 生成, 其中的 `ii, jj` 是通用的, 由 CODE. 12 给出. 而 `ss` 如下获得: 将单元刚度矩阵行拉直, 逐个单元拼成一个矩阵 (每行对应一个单元的拉直向量), 然后再拉直为一个列向量. 若把这些块给出的拉直向量分别记为 `ss11, ss12, ss21, ss22`, 则可如下装配

```
1 A11 = sparse(ii, jj, ss11, N, N); A12 = sparse(ii, jj, ss12, N, N);
2 A21 = sparse(ii, jj, ss21, N, N); A22 = sparse(ii, jj, ss22, N, N);
3 A = [A11, A12; A21, A22];
```

为了避免对稀疏矩阵进行运算, 上面分块装配可如下改进

CODE 16. 向量方程的分块 sparse 装配指标 (三角剖分)

```
1 ii11 = ii;    jj11 = jj;    ii12 = ii;    jj12 = jj+N;
2 ii21 = ii+N; jj21 = jj;    ii22 = ii+N; jj22 = jj+N;
3 ii = [ii11; ii12; ii21; ii22];
4 jj = [jj11; jj12; jj21; jj22];
5 ss = [ss11; ss12; ss21; ss22];
6 A = sparse(ii, jj, ss, 2*N, 2*N);
```

对有些问题, 单元刚度矩阵

$$\mathbf{A}_K = \begin{bmatrix} A_{11}^K & A_{12}^K \\ A_{21}^K & A_{22}^K \end{bmatrix}$$

并不是分块各自生成, 而是直接生成 (例如 VEM), 此时可找到每个块执行上面的装配, 即将 A_{ij}^K 行拉直拼接. 为了方便, 我们将 \mathbf{A}_K 看成整体进行装配. 回忆一下装配指标, 对单元刚度矩阵

$[K^e] = [k_{ij}]_{3 \times 3}$, 装配指标首先给出 k_{11} 所有单元的 (i, j, s) , 记为 $\mathbf{i}_{11}, \mathbf{j}_{11}, \mathbf{s}_{11}$, 接着按行给出其他位置的稀疏指标, 它们拼接如下

$$\begin{bmatrix} \mathbf{i}_{11} & \mathbf{j}_{11} & \mathbf{s}_{11} \\ \mathbf{i}_{12} & \mathbf{j}_{12} & \mathbf{s}_{12} \\ \vdots & \vdots & \vdots \\ \mathbf{i}_{33} & \mathbf{j}_{33} & \mathbf{s}_{33} \end{bmatrix}.$$

类似地, 对这里的 A_K , 也要按行逐个给出每个元素所有单元的稀疏指标, 然后拼接起来. 此时的

$$A_K = [k_{ij}]_{(2N_{dof}) \times (2N_{dof})}, \quad N_{dof} = 3,$$

可如下给出装配指标

CODE 17. 向量方程的 sparse 装配指标 (三角剖分)

```
1 NT = size(elem,1); N = size(node,1);
2 Ndof = 3; Ndof2 = 2*Ndof; nnz = NT*Ndof2^2;
3 ii = zeros(nnz,1); jj = zeros(nnz,1);
4 id = 0;
5 for i = 1:Ndof2
6     for j = 1:Ndof2
7         iN = i>Ndof; jN = j>Ndof;
8         i1 = i-iN*Ndof; j1 = j-jN*Ndof;
9         ii(id+1:id+NT) = elem(:,i1) + iN*N; % zi
10        jj(id+1:id+NT) = elem(:,j1) + jN*N; % zj
11        id = id + NT;
12    end
13 end
```

类似 CODE. 18, 对多角形剖分, 我们可如下给出装配指标

CODE 18. 弹性方程 VEM 的 sparse 装配指标

```
1 % ----- Assemble the stiff matrix and load vector -----
2 elemLen = cellfun('length',elem); vertNum = unique(elemLen);
3 nnz = sum(4*elemLen.^2);
4 ii = zeros(nnz,1); jj = zeros(nnz,1); ss = zeros(nnz,1);
5
6 id = 0; ff = zeros(2*N,1);
7 for Nv = vertNum(:)' % only valid for row vector
8
9     % assemble the matrix
10    idNv = find(elemLen == Nv); % find polygons with Nv vertices
11    NTv = length(idNv); % number of elements with Nv vertices
12
13    elemNv = cell2mat(elem(idNv)); % elem
14    K = cell2mat(ABelem(idNv)); F = cell2mat(belem(idNv));
15    s = 1; Ndof = Nv;
16    for i = 1:2*Ndof
17        for j = 1:2*Ndof
18            iN = i>Ndof; jN = j>Ndof;
19            i1 = i-iN*Ndof; j1 = j-jN*Ndof;
```



```

20         ii(id+1:id+NTv) = elemNv(:,i1) + iN*N; % zi
21         jj(id+1:id+NTv) = elemNv(:,j1) + jN*N; % zj
22         ss(id+1:id+NTv) = K(:,s);
23         id = id + NTv; s = s+1;
24     end
25 end
26
27 % assemble the vector
28 ff = ff + accumarray([elemNv(:);elemNv(:)+N],F(:),[2*N 1]);
29 end
30 kk = sparse(ii,jj,ss,2*N,2*N);

```

3.3 变分形式 I: 位移型

3.3.1 过渡矩阵

设分量空间 $V_k(K)$ 的基函数为 ϕ_1, \dots, ϕ_N , 则向量空间 $\mathbf{V}_k(K)$ 的基函数为

$$\bar{\phi}_1, \dots, \bar{\phi}_N, \underline{\phi}_1, \dots, \underline{\phi}_N,$$

式中,

$$\bar{\phi}_i = \begin{bmatrix} \phi_i \\ 0 \end{bmatrix}, \quad \underline{\phi}_i = \begin{bmatrix} 0 \\ \phi_i \end{bmatrix}, \quad i = 1, \dots, N.$$

对任意的 $\mathbf{u} = (u_1, u_2) =: (\bar{\mathbf{u}}, \underline{\mathbf{u}}) \in \mathbf{V}_k(K)$, 有

$$\mathbf{u} = \sum_{i=1}^{N_k} \bar{u}_i \bar{\phi}_i + \sum_{i=1}^{N_k} \underline{u}_i \underline{\phi}_i, \quad \bar{u}_i = \chi_i(\bar{\mathbf{u}}), \quad \underline{u}_i = \chi_i(\underline{\mathbf{u}}),$$

于是

$$\text{dof}_i(\mathbf{u}) = \chi_i(u_1), \quad \text{dof}_{i+N}(\mathbf{u}) = \chi_i(u_2), \quad 1 \leq i \leq N.$$

类似地, 设

$$\bar{m}_\alpha = \begin{bmatrix} m_\alpha \\ 0 \end{bmatrix}, \quad \underline{m}_\alpha = \begin{bmatrix} 0 \\ m_\alpha \end{bmatrix}, \quad \alpha = 1, 2, 3,$$

并把它排列

$$\begin{aligned} \mathbf{m}^T &= [\bar{m}_1, \bar{m}_2, \bar{m}_3, \underline{m}_1, \underline{m}_2, \underline{m}_3] =: [\bar{\mathbf{m}}^T, \underline{\mathbf{m}}^T], \\ \boldsymbol{\phi}^T &= [\bar{\phi}_1, \dots, \bar{\phi}_{N_k}, \underline{\phi}_1, \dots, \underline{\phi}_{N_k}] =: [\bar{\boldsymbol{\phi}}^T, \underline{\boldsymbol{\phi}}^T]. \end{aligned}$$

设过渡矩阵为 \mathbf{D} , 即

$$\mathbf{m}^T = \boldsymbol{\phi}^T \mathbf{D},$$

由

$$\begin{aligned} \mathbf{m}^T &= [\bar{\mathbf{m}}^T, \underline{\mathbf{m}}^T] = \begin{bmatrix} \mathbf{m}^T & \mathbf{0}^T \\ \mathbf{0}^T & \mathbf{m}^T \end{bmatrix} = \begin{bmatrix} \boldsymbol{\phi}^T \mathbf{D} & \mathbf{0}^T \\ \mathbf{0}^T & \boldsymbol{\phi}^T \mathbf{D} \end{bmatrix} \\ &= \begin{bmatrix} \boldsymbol{\phi}^T & \mathbf{0}^T \\ \mathbf{0}^T & \boldsymbol{\phi}^T \end{bmatrix} \begin{bmatrix} \mathbf{D} & \\ & \mathbf{D} \end{bmatrix} = \boldsymbol{\phi}^T \mathbf{D}, \end{aligned}$$

知

$$\mathbf{D} = \begin{bmatrix} D & \\ & D \end{bmatrix}.$$

3.3.2 椭圆投影

椭圆投影 Π^∇ 类似 Poisson 方程定义, 只不过此时是向量型的, 即

$$\Pi^\nabla : \mathbf{V}_k(K) \rightarrow (\mathbb{P}_k(K))^2, \quad \mathbf{v} \mapsto \Pi^\nabla \mathbf{v},$$

满足

$$\begin{cases} a_{\nabla}^K(\Pi^\nabla \mathbf{v}, \mathbf{p}) = a_{\nabla}^K(\mathbf{v}, \mathbf{p}), & \mathbf{p} \in (\mathbb{P}_k(K))^2, \\ \int_{\partial K} \Pi^\nabla \mathbf{v} ds = \int_{\partial K} \mathbf{v} ds \end{cases}$$

或

$$\begin{cases} \int_K \nabla \Pi^\nabla \mathbf{v} \cdot \nabla \mathbf{p} dx = \int_K \nabla \mathbf{v} \cdot \nabla \mathbf{p} dx, & \mathbf{p} \in (\mathbb{P}_k(K))^2, \\ \int_{\partial K} \Pi^\nabla \mathbf{v} ds = \int_{\partial K} \mathbf{v} ds. \end{cases} \quad (3.24)$$

定义的向量形式为

$$\begin{cases} a_{\nabla}^K(\mathbf{m}, \Pi^\nabla \phi^T) = a_{\nabla}^K(\mathbf{m}, \phi^T), \\ P_0(\Pi^\nabla \phi^T) = P_0(\phi^T) \end{cases}$$

或

$$\begin{cases} \int_K \nabla \mathbf{m} \cdot \nabla \Pi^\nabla \phi^T dx = \int_K \nabla \mathbf{m} \cdot \nabla \phi^T dx, \\ P_0(\Pi^\nabla \phi^T) = P_0(\phi^T), \end{cases}$$

设 Π^∇ 在基 ϕ^T 下的矩阵为 $\mathbf{\Pi}^\nabla$, 即

$$\Pi^\nabla \phi^T = \phi^T \mathbf{\Pi}^\nabla, \quad \mathbf{\Pi}^\nabla = (\text{dof}_i(\Pi^\nabla \phi_j)).$$

根据前面自由度的说明, 有

$$\mathbf{\Pi}^\nabla = \begin{bmatrix} (\chi_i(\Pi^\nabla \phi_j)) \\ (\chi_i(\Pi^\nabla \phi_j)) \end{bmatrix} = \begin{bmatrix} \mathbf{\Pi}_\nabla & \\ & \mathbf{\Pi}_\nabla \end{bmatrix}.$$

这里为了区别, 设 $\Pi^\nabla = (\Pi_\nabla, \Pi_\nabla)^T$, 即把分量的投影写为下标, 且记 Π_∇ 在基 ϕ^T 下的矩阵为 $\mathbf{\Pi}_\nabla$, 即

$$\Pi_\nabla \phi^T = \phi^T \mathbf{\Pi}_\nabla, \quad \mathbf{\Pi}_\nabla = (\chi_i(\Pi^\nabla \phi_j)). \quad (3.25)$$

也可如下获得. 由 (3.25),

$$\begin{aligned} \Pi^\nabla \phi^T &= [\Pi^\nabla \bar{\phi}^T, \Pi^\nabla \underline{\phi}^T] = \begin{bmatrix} \Pi_\nabla \phi^T & \mathbf{0}^T \\ \mathbf{0}^T & \Pi_\nabla \phi^T \end{bmatrix} \\ &= \begin{bmatrix} \phi^T \mathbf{\Pi}_\nabla & \mathbf{0}^T \\ \mathbf{0}^T & \phi^T \mathbf{\Pi}_\nabla \end{bmatrix} = \begin{bmatrix} \phi^T & \mathbf{0}^T \\ \mathbf{0}^T & \phi^T \end{bmatrix} \begin{bmatrix} \mathbf{\Pi}_\nabla & \\ & \mathbf{\Pi}_\nabla \end{bmatrix} \\ &= [\bar{\phi}^T, \underline{\phi}^T] \begin{bmatrix} \mathbf{\Pi}_\nabla & \\ & \mathbf{\Pi}_\nabla \end{bmatrix} = \phi^T \begin{bmatrix} \mathbf{\Pi}_\nabla & \\ & \mathbf{\Pi}_\nabla \end{bmatrix} =: \phi^T \mathbf{\Pi}^\nabla, \end{aligned}$$

此即 Π^∇ 在基 ϕ^T 下的矩阵为

$$\Pi^\nabla = \begin{bmatrix} \Pi_\nabla & \\ & \Pi_\nabla \end{bmatrix}.$$

再设投影向量 $\Pi_\nabla \phi^T$ 在多项式基下的矩阵为 Π_{a*} , 即

$$\Pi_\nabla \phi^T = m^T \Pi_{a*}, \quad (3.26)$$

则有

$$\Pi_\nabla = D \Pi_{\nabla*},$$

其中, D 为过渡矩阵. 类似由 (3.25) 得

$$\Pi^\nabla \phi^T = m^T \Pi^{\nabla*}, \quad \Pi^{\nabla*} = \begin{bmatrix} \Pi_{\nabla*} & \\ & \Pi_{\nabla*} \end{bmatrix}.$$

显然,

$$\Pi^\nabla = D \Pi^{\nabla*}, \quad D = \begin{bmatrix} D & \\ & D \end{bmatrix}.$$

代入前面的矩阵表示, 有

$$\begin{cases} G \Pi^{\nabla*} = B, \\ P_0(m^T) \Pi^{\nabla*} = P_0(\phi^T), \end{cases} \quad (3.27)$$

其中,

$$\begin{aligned} G &= a_{\nabla}^K(m, m^T) = \int_K \nabla m \cdot \nabla m^T dx, \\ B &= a_{\nabla}^K(m, \phi^T) = \int_K \nabla m \cdot \nabla \phi^T dx. \end{aligned}$$

直接计算有

$$\begin{aligned} G &= \int_K \nabla m \cdot \nabla m^T dx = \begin{bmatrix} (\nabla \overline{m}, \nabla \overline{m}^T)_K & (\nabla \overline{m}, \nabla \underline{m}^T)_K \\ (\nabla \underline{m}, \nabla \overline{m}^T)_K & (\nabla \underline{m}, \nabla \underline{m}^T)_K \end{bmatrix} \\ &= \begin{bmatrix} (\nabla m, \nabla m^T)_K & \\ & (\nabla m, \nabla m^T)_K \end{bmatrix} = \begin{bmatrix} G & \\ & G \end{bmatrix}, \end{aligned}$$

类似地,

$$B = \begin{bmatrix} B & \\ & B \end{bmatrix}.$$

根据 Poisson 方程, G 不可逆, 它的第一行全为零, 为此 G 的分块的第一行都为零. 注意到 (3.27) 中的

$$\begin{aligned} P_0(m^T) &= [P_0(\overline{m}^T), P_0(\underline{m}^T)] = \begin{bmatrix} P_0(m^T) & \mathbf{0}^T \\ \mathbf{0}^T & P_0(m^T) \end{bmatrix}, \\ P_0(\phi^T) &= [P_0(\overline{\phi}^T), P_0(\underline{\phi}^T)] = \begin{bmatrix} P_0(\phi^T) & \mathbf{0}^T \\ \mathbf{0}^T & P_0(\phi^T) \end{bmatrix}, \end{aligned}$$

它们是两行的方程, 用它们分别替换分块的首行, 则有

$$\tilde{G} \Pi^{\nabla*} = \tilde{B},$$

其中,

$$\tilde{G} = \begin{bmatrix} \tilde{G} & \\ & \tilde{G} \end{bmatrix}, \quad \tilde{B} = \begin{bmatrix} \tilde{B} & \\ & \tilde{B} \end{bmatrix}.$$

由分量矩阵的关系, 我们有

引理 3.1

$$\begin{aligned} \Pi^{\nabla*} &= \tilde{G}^{-1} \tilde{B}, & \Pi^{\nabla} &= D \Pi^{\nabla*}. \\ G &= B D, & \tilde{G} &= \tilde{B} D. \end{aligned}$$

注 3.3 正因为向量情形的矩阵只是分量矩阵的对角分块, 投影矩阵自然也是, 从而不必再计算向量情形的各种矩阵.

3.3.3 L^2 投影

对 Poisson 方程, L^2 投影 Π_k^0 和 Π_{k-1}^0 都不能定义, 因为它们用到 K 上的 $\geq k-1$ 的矩量. 但对这里的

$$a_{\text{div}}^K(\mathbf{u}, \mathbf{v}) = \int_K (\text{div } \mathbf{u})(\text{div } \mathbf{v}) dx,$$

可用 $\Pi_{k-1}^0(\text{div } \mathbf{u})$ 近似 $\text{div } \mathbf{u}$, 即可定义

$$\Pi_{k-1}^0 \text{div} : \mathbf{v} \mapsto \Pi_{k-1}^0(\text{div } \mathbf{v}),$$

$$\int_K \Pi_{k-1}^0(\text{div } \mathbf{v}) p dx = \int_K (\text{div } \mathbf{v}) p dx, \quad p \in \mathbb{P}_{k-1}(K),$$

这是因为此时的右端可计算. 事实上,

$$\int_K (\text{div } \mathbf{v}) p dx = - \int_K \mathbf{v} \cdot \nabla p dx + \int_{\partial K} (\mathbf{v} \cdot \mathbf{n}) p ds, \quad p \in \mathbb{P}_{k-1}(K),$$

右端第一项的 $\nabla p \in (\mathbb{P}_{k-2}(K))^2$, 从而能表为自由度的组合, 而边界项属于有限元问题.

定义的向量形式为

$$\int_K m^0 \Pi_{k-1}^0(\text{div } \phi^T) dx = \int_K m^0(\text{div } \phi^T) dx,$$

其中, m^0 是阶不大于 $k-1$ 次的尺度单项式的列向量. 设 $\Pi_{k-1}^0(\text{div } \phi^T)$ 在多项式基 $(m^0)^T$ 下的矩阵为 Π_{0*} , 即

$$\Pi_{k-1}^0(\text{div } \phi^T) = (m^0)^T \Pi_{0*},$$

则投影的矩阵形式为

$$H_0 \Pi_{0*} = C_0,$$

式中,

$$H_0 = \int_K m^0 (m^0)^T dx, \quad C_0 = \int_K m^0(\text{div } \phi^T) dx.$$

显然 H_0 是 H 的前若干行若干列组成.

对 $k=1$, 有 $m^0 = m_1 = 1$, 且

$$C_0 = \int_K m^0(\text{div } \phi^T) dx = \int_K \text{div } \phi^T dx = \int_{\partial K} \phi^T \cdot \mathbf{n} ds, \quad (3.28)$$

这里

$$\int_{\partial K} \phi^T \cdot \mathbf{n} ds = \int_{\partial K} [\bar{\phi}^T \cdot \mathbf{n}, \underline{\phi}^T \cdot \mathbf{n}] ds = \int_{\partial K} [\phi^T \cdot n_x, \phi^T \cdot n_y] ds.$$

由 Poisson 方程那里的 (2.8),

$$\int_{\partial K} \phi_i \cdot \mathbf{n} ds = \frac{1}{2} (|e_{i-1}| \mathbf{n}_{e_{i-1}} + |e_i| \mathbf{n}_{e_i}) = \frac{1}{2} |\hat{e}_i| \mathbf{n}_{\hat{e}_i},$$

此即

$$\int_{\partial K} [\phi_i \cdot n_x, \phi_i \cdot n_y]^T ds = \frac{1}{2} |\hat{e}_i| \mathbf{n}_{\hat{e}_i},$$

由此可获得 C_0 . 显然此时有 $H_0 = |K|$, 于是

$$\Pi_{0*} = H_0^{-1} C_0 = |K|^{-1} C_0.$$

前面需要的矩阵可如下生成

```

1 function [D,Bs,G,Gs,H0,C0] = VEM_MAT_elasticity_displacement(aux)
2
3 % aux = auxgeometry(node,elem);
4
5 node = aux.node; elem = aux.elem;
6 elemCentroid = aux.elemCentroid;
7 diameter = aux.diameter; area = aux.area;
8 NT = size(elem,1);
9
10 D = cell(NT,1);
11 % B = cell(NT,1); % it is not used in the computation
12 Bs = cell(NT,1);
13 G = cell(NT,1); Gs = cell(NT,1);
14 H0 = cell(NT,1); C0 = cell(NT,1);
15 for iel = 1:NT
16     index = elem{iel}; Nv = length(index);
17     xK = elemCentroid(iel,1); yK = elemCentroid(iel,2); hK = diameter(iel);
18
19     m2 = @(x,y) (x-xK)./hK; m3 = @(x,y) (y-yK)./hK;
20     m = @(x,y) [m2(x,y), m3(x,y)]; % m2,m3
21     x = node(index,1); y = node(index,2);
22
23     % D
24     D1 = zeros(Nv,3); D1(:,1) = 1;
25     D1(:,2:3) = m(x,y); D{iel} = D1;
26
27     % B, Bs, G, Gs
28     rotid1 = [Nv,1:Nv-1]; rotid2 = [2:Nv,1]; % ending and starting indices
29     Gradm = [0 0; 1./hK*[1, 0]; 1./hK*[0, 1]];
30     normVec = 0.5*[y(rotid2) - y(rotid1), x(rotid1)-x(rotid2)]'; % a ...
31         rotation of edge vector
32     B1 = Gradm*normVec; B1s = B1; B1s(1,:) = 1/Nv;
33     % B{iel} = B1;
34     Bs{iel} = B1s;
35     Gs{iel} = B1*D1; Gs{iel} = B1s*D1;

```

```

35
36     % H0,CO
37     H0{iel} = area(iel);
38     C0{iel} = reshape(normVec',1,[]);
39 end

```

3.3.4 单元刚度矩阵和载荷向量的计算

类似 Poisson 方程, 有

$$\mathbf{A}_K^1 = a_K^K (\Pi^\nabla \phi, \Pi^\nabla \phi^T) = (\Pi^{\nabla*})^T a_K^K (\mathbf{m}, \mathbf{m}^T) \Pi^{\nabla*} = (\Pi^{\nabla*})^T \mathbf{G} \Pi^{\nabla*},$$

$$\mathbf{A}_K^2 = (\mathbf{I} - \Pi^\nabla)^T (\mathbf{I} - \Pi^\nabla),$$

$$\mathbf{B}_K = \int_K \Pi_{k-1}^0 (\operatorname{div} \phi) \Pi_{k-1}^0 (\operatorname{div} \phi^T) dx = (\Pi_{0*})^T H_0 \Pi_{0*}.$$

由矩阵的分块性质知, \mathbf{A}_K^1 和 \mathbf{A}_K^2 也是分块对角的, 即

$$\mathbf{A}_K^i = \begin{bmatrix} A_K^i & \\ & A_K^i \end{bmatrix}, \quad i = 1, 2,$$

这里,

$$\mathbf{A}_K^1 = (\Pi_{\nabla*})^T \mathbf{G} \Pi_{\nabla*}, \quad \mathbf{A}_K^2 = (\mathbf{I} - \Pi_\nabla)^T (\mathbf{I} - \Pi_\nabla),$$

且 Π_∇ 就是 Poisson 方程情形的 Π_k^∇ , 而 $\Pi_{\nabla*}$ 就是那里的 Π_{k*}^∇ .

再考虑右端的计算. 右端的向量形式为

$$\mathbf{F}_K = \ell(\phi) = \int_K \Pi_{k-2}^0 \mathbf{f} \cdot \phi dx = \int_K \begin{bmatrix} \Pi_{k-2}^0 f_1 \cdot \phi \\ \Pi_{k-2}^0 f_2 \cdot \phi \end{bmatrix} dx,$$

为此只要考虑

$$F_K(\phi) = \int_K \Pi_{k-2}^0 f \phi dx, \quad f = f_1, f_2.$$

当 $k = 1$ 时, 规定 $\Pi_{k-2}^0 = \Pi_0^0 = P_0$, 即常值投影, 由 (2.9) 定义, 即单元顶点值的平均. 注意到

$$F_K(\phi) = \int_K \Pi_0^0 f \phi dx = \int_K \Pi_0^0 f \Pi_k^0 \phi dx,$$

我们有

$$F_K = \int_K \Pi_0^0 f \Pi_0^0 \phi dx = f(x_K, y_K) |K| \frac{1}{N_v} [1, \dots, 1]_{N_k}^T,$$

这里为了方便, $\Pi_0^0 f$ 用中点值近似.

如下获得刚度矩阵和载荷向量

```

1 % ----- Elementwise stiffness matrix and load vector -----
2 ABelem = cell(Nt,1); belem = cell(Nt,1);
3 for iel = 1:Nt
4     % Projection
5     Pis = Gs{iel}\Bs{iel};   Pi  = D{iel}*Pis;   I = eye(size(Pi));
6     Pios = H0{iel}\C0{iel};
7     % Stiffness matrix

```

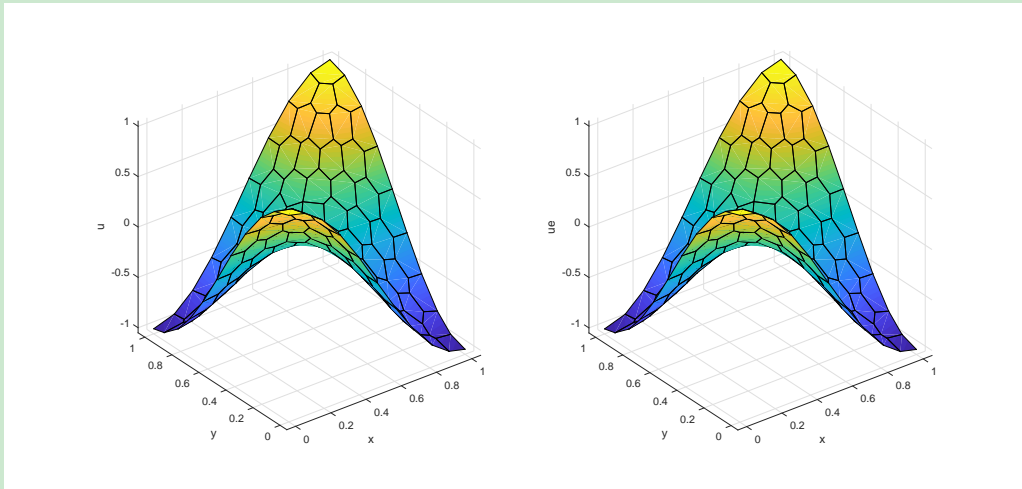
```

8     AK = Pis'*G{iel}*Pis + (I-Pi)'.*(I-Pi); AK = blkdiag(AK,AK);
9     BK = PiOs'*H0{iel}*PiOs;
10    ABelem{iel} = reshape(pde.mu*AK+(pde.mu+pde.lambda)*BK,1,[]); %straighten
11    % Load vector
12    Nv = length(elem{iel});
13    fK = pde.f(elemCentroid(iel,:))*area(iel)/Nv; fK = repmat(fK,Nv,1);
14    belem{iel} = fK(:)'; % straighten
15 end

```

3.3.5 程序整理

数值解和精确解的图像如下



主程序为

CODE 19. main_elasticityVEM_displacement.m

```

1  clc;clear;close all
2  tic;
3  % ----- Mesh -----
4  % generated by meshfun.m in tool
5  load meshdata.mat; % rectangle
6  %load meshdataCircle.mat; % circle
7  figure, showmesh(node,elem);
8  findnode(node); % findelem(node,elem);
9
10 % ----- PDE data -----
11 pde = elasticitydata();
12 bdStruct = setboundary(node,elem);
13
14 % ----- Solve the problem -----
15 u = elasticityVEM_displacement(node,elem,pde,bdStruct);
16
17 % ----- error analysis -----
18 u = reshape(u,[],2);
19 uexact = pde.uexact; ue = uexact(node);
20 id = 1;

```

```

21 figure,
22 subplot(1,2,1), showsolution(node,elem,u(:,id));
23 xlabel('u');
24 subplot(1,2,2), showsolution(node,elem,ue(:,id));
25 xlabel('ue');
26 Eabs = u-ue; % Absolute errors
27 figure, showsolution(node,elem,Eabs(:,id)); zlim('auto');
28 format shorte
29 Err = norm(Eabs)./norm(ue)
30 toc

```

函数文件为

CODE 20. elasticityVEM_displacement.m

```

1 function u = elasticityVEM_displacement(node,elem,pde,bdStruct)
2
3 aux = auxgeometry(node,elem);
4 node = aux.node; elem = aux.elem;
5 elemCentroid = aux.elemCentroid; area = aux.area;
6
7 N = size(node,1); NT = size(elem,1);
8 % ----- D,Bs,G,Gs,H0,C0 -----
9 [D,Bs,G,Gs,H0,C0] = VEM_MAT_elasticity_displacement(aux);
10
11 % ----- Elementwise stiffness matrix and load vector -----
12 ABelem = cell(NT,1); belem = cell(NT,1);
13 for iel = 1:NT
14     % Projection
15     Pis = Gs{iel}\Bs{iel}; Pi = D{iel}*Pis; I = eye(size(Pi));
16     PiOs = H0{iel}\C0{iel};
17     % Stiffness matrix
18     AK = Pis'*G{iel}*Pis + (I-Pi)*(I-Pi); AK = pde.mu*blkdiag(AK,AK);
19     BK = (pde.mu+pde.lambda)*PiOs'*H0{iel}*PiOs;
20     ABelem{iel} = reshape(AK+BK,1,[]); % straighten
21     % Load vector
22     Nv = length(elem{iel});
23     fK = pde.f(elemCentroid(iel,:))*area(iel)/Nv; fK = repmat(fK,Nv,1);
24     belem{iel} = fK(:)'; % straighten
25 end
26
27 % ----- Assemble the stiffness matrix and load vector -----
28 elemLen = cellfun('length',elem); vertNum = unique(elemLen);
29 nnz = sum(4*elemLen.^2);
30 ii = zeros(nnz,1); jj = zeros(nnz,1); ss = zeros(nnz,1);
31
32 id = 0; ff = zeros(2*N,1);
33 for Nv = vertNum(:)' % only valid for row vector
34
35     % assemble the matrix
36     idNv = find(elemLen == Nv); % find polygons with Nv vertices

```



```

37     NTv = length(idNv); % number of elements with Nv vertices
38
39     elemNv = cell2mat(elem(idNv)); % elem
40     K = cell2mat(ABelem(idNv)); F = cell2mat(belem(idNv));
41     s = 1; Ndof = Nv;
42     for i = 1:2*Ndof
43         for j = 1:2*Ndof
44             iN = i>Ndof; jN = j>Ndof;
45             i1 = i-iN*Ndof; j1 = j-jN*Ndof;
46             ii(id+1:id+NTv) = elemNv(:,i1) + iN*N; % zi
47             jj(id+1:id+NTv) = elemNv(:,j1) + jN*N; % zj
48             ss(id+1:id+NTv) = K(:,s);
49             id = id + NTv; s = s+1;
50         end
51     end
52
53     % assemble the vector
54     ff = ff + accumarray([elemNv(:);elemNv(:)+N],F(:),[2*N 1]);
55 end
56 kk = sparse(ii,jj,ss,2*N,2*N);
57
58 % ----- Dirichlet boundary condition -----
59 g_D = pde.g_D; eD = bdStruct.eD;
60 isBdNode = false(N,1); isBdNode(eD) = true;
61 bdNode = find(isBdNode); freeNode = find(~isBdNode);
62 pD = node(bdNode,:);
63 bdDof = [bdNode; bdNode+N]; freeDof = [freeNode;freeNode+N];
64 u = zeros(2*N,1); uD = g_D(pD); u(bdDof) = uD(:);
65 ff = ff - kk*u;
66
67 % ----- Solver -----
68 u(freeDof) = kk(freeDof,freeDof)\ff(freeDof);

```

3.4 变分形式 II: 张量型

只要考虑投影投影, 其他部分与变分形式 I 相同.

3.4.1 椭圆投影的定义

设 $\mathbf{u}_h \in \mathbf{V}_k(K)$, $\mathbf{p} \in (\mathbb{P}_k(K))^2$, 分部积分有

$$\begin{aligned}
 & \int_K \varepsilon_{ij}(\mathbf{u}_h) \varepsilon_{ij}(\mathbf{p}) dx \\
 &= \frac{1}{2} \int_K (\partial_i u_j + \partial_j u_i) \varepsilon_{ij}(\mathbf{p}) dx \\
 &= \frac{1}{2} \int_{\partial K} (u_j \varepsilon_{ij}(\mathbf{p}) n_i + u_i \varepsilon_{ij}(\mathbf{p}) n_j) dx - \frac{1}{2} \int_K (u_j \partial_i \varepsilon_{ij}(\mathbf{p}) + u_i \partial_j \varepsilon_{ij}(\mathbf{p})) dx \\
 &= \frac{1}{2} \int_{\partial K} (u_j \varepsilon_{ij}(\mathbf{p}) n_i + u_i \varepsilon_{ij}(\mathbf{p}) n_j) dx - \frac{1}{2} \int_K (u_j \partial_i \varepsilon_{ij}(\mathbf{p}) + u_i \partial_j \varepsilon_{ij}(\mathbf{p})) dx.
 \end{aligned}$$

由对称性,

$$\begin{aligned}
& \int_K \varepsilon_{ij}(\mathbf{u}_h) \varepsilon_{ij}(\mathbf{p}) dx \\
&= \frac{1}{2} \int_{\partial K} (u_j \varepsilon_{ji}(\mathbf{p}) n_i + u_i \varepsilon_{ij}(\mathbf{p}) n_j) dx - \frac{1}{2} \int_K (u_j \partial_i \varepsilon_{ji}(\mathbf{p}) + u_i \partial_j \varepsilon_{ij}(\mathbf{p})) dx \\
&= \int_{\partial K} u_i \varepsilon_{ij}(\mathbf{p}) n_j dx - \int_K u_i \partial_j \varepsilon_{ij}(\mathbf{p}) dx,
\end{aligned}$$

此即

$$a_\mu^K(\mathbf{u}_h, \mathbf{p}) = \int_K \boldsymbol{\varepsilon}(\mathbf{u}_h) : \boldsymbol{\varepsilon}(\mathbf{p}) dx = - \int_K \operatorname{div}(\boldsymbol{\varepsilon}(\mathbf{p})) \cdot \mathbf{u}_h dx + \int_{\partial K} (\boldsymbol{\varepsilon}(\mathbf{p}) \cdot \mathbf{n}) \cdot \mathbf{u}_h ds, \quad (3.29)$$

这里 $\cdot \mathbf{u}_h$ 中的 \cdot 表示向量内积. 注意到 $\operatorname{div}(\boldsymbol{\varepsilon}(\mathbf{p})) \in (\mathbb{P}_{k-2}(K))^2$, 右端第一项可表为 \mathbf{u}_h 的自由度, 而边界项属于有限元问题, 故上面的双线性形式可计算 $(\mathbf{v} = \mathbf{p} \in (\mathbb{P}_k(K))^2)$.

为此, 定义椭圆投影

$$\Pi^a : \mathbf{V}_k(K) \rightarrow (\mathbb{P}_k(K))^2, \quad \mathbf{v} \mapsto \Pi^a \mathbf{v},$$

满足

$$a_\mu^K(\Pi^a \mathbf{v}, \mathbf{p}) = a_\mu^K(\mathbf{v}, \mathbf{p}), \quad \mathbf{p} \in (\mathbb{P}_k(K))^2. \quad (3.30)$$

显然这样定义的投影不唯一. 事实上, 若 $\Pi^a \mathbf{v} + \mathbf{p}$ 也符合定义, 则有

$$\int_K \boldsymbol{\varepsilon}(\mathbf{p}) : \boldsymbol{\varepsilon}(\mathbf{p}) dx = \int_K \varepsilon_{ij}(\mathbf{p}) \varepsilon_{ij}(\mathbf{p}) dx = 0,$$

即

$$\varepsilon_{ij}(\mathbf{p}) = 0 \quad \Rightarrow \quad \partial_i p_j + \partial_j p_i = 0.$$

由

$$\partial_i p_i = 0, \quad i = 1, 2 \quad \Rightarrow \quad p_1 = c_1, \quad c_2 y, \quad p_2 = c_3, \quad c_4 x,$$

再结合 $\partial_i p_j + \partial_j p_i = 0$ ($i \neq j$) 知,

$$\mathbf{p} \in \operatorname{span} \left\{ \begin{bmatrix} 1 \\ 0 \end{bmatrix}, \begin{bmatrix} 0 \\ 1 \end{bmatrix}, \begin{bmatrix} -y \\ x \end{bmatrix} \right\} =: K_0. \quad (3.31)$$

注意到上式中空间的自由度为 3, 为了保证唯一性, 我们可要求

$$\int_{\partial K} (\Pi^a \mathbf{v}) \mathbf{p} dx = \int_{\partial K} \mathbf{v} \mathbf{p} dx, \quad \mathbf{p} \in K_0.$$

或更简单的

$$\sum_{i=1}^{N_v} (\Pi^a \mathbf{v}(z_i), \mathbf{p}(z_i)) = \sum_{i=1}^{N_v} (\mathbf{v}(z_i), \mathbf{p}(z_i)), \quad \mathbf{p} \in K_0, \quad (3.32)$$

式中的配对表示欧式内积.

定义 (3.30) 等价于如下的向量形式

$$a_\mu^K(\mathbf{m}, \Pi^a \boldsymbol{\phi}^T) = a_\mu^K(\mathbf{m}, \boldsymbol{\phi}^T)$$

或

$$\int_K \varepsilon_{ij}(\mathbf{m}) \varepsilon_{ij}(\Pi^a \boldsymbol{\phi}^T) dx = \int_K \varepsilon_{ij}(\mathbf{m}) \varepsilon_{ij}(\boldsymbol{\phi}^T) dx.$$

记 K_0 三个基的列向量为 $\{\mathbf{p}\}$, 则限制条件为 (三行方程)

$$\sum_{i=1}^{N_v} (\{\mathbf{p}(z_i)\}, \Pi^a \phi^T(z_i)) = \sum_{i=1}^{N_v} (\{\mathbf{p}(z_i)\}, \phi^T(z_i)).$$

设 Π^a 在基 ϕ^T 下的矩阵为 Π^{a*} , 即

$$\Pi^a \phi^T = \phi^T \Pi^{a*},$$

而 $\Pi^a \phi^T$ 在多项式基 \mathbf{m}^T 下的矩阵为 Π^{a*} , 即

$$\Pi^a \phi^T = \mathbf{m}^T \Pi^{a*},$$

易知有

$$\Pi^a = D \Pi^{a*}, \quad D = \begin{bmatrix} D & \\ & D \end{bmatrix}.$$

将以上表达式代入向量形式, 有

$$\begin{cases} G \Pi^{a*} = B, \\ \sum_{i=1}^{N_v} (\{\mathbf{p}(z_i)\}, \mathbf{m}^T(z_i)) \Pi^{a*} = \sum_{i=1}^{N_v} (\{\mathbf{p}(z_i)\}, \phi^T(z_i)) \end{cases}$$

式中,

$$G = a_\mu^K(\mathbf{m}, \mathbf{m}^T) = \int_K \varepsilon_{ij}(\mathbf{m}) \varepsilon_{ij}(\mathbf{m}^T) dx,$$

$$B = a_\mu^K(\mathbf{m}, \phi^T) = \int_K \varepsilon_{ij}(\mathbf{m}) \varepsilon_{ij}(\phi^T) dx.$$

而 G 和 B 的某些行用限制条件替换后记为 \tilde{G} 和 \tilde{B} . 类似地, 我们有一致性关系

引理 3.2

$$G = BD, \quad \tilde{G} = \tilde{B}D.$$

3.4.2 椭圆投影的计算

当 $k = 1$ 时, $\varepsilon_{ij}(m_\alpha)$ 是常数, 而且 (3.29) 右端的第一项为零, 于是

$$G = |K| \cdot \varepsilon_{ij}(\mathbf{m}) \varepsilon_{ij}(\mathbf{m}^T), \quad B = \int_{\partial K} (\boldsymbol{\varepsilon}(\mathbf{m}) \cdot \mathbf{n}) \cdot \phi^T ds.$$

先考虑 G . 根据一致性关系, 它不需要直接计算, 这里简单计算一下, 以考察其可逆性. 直接计算有

$$\varepsilon_{11}(\mathbf{m}) = [0, \frac{1}{h_K}, 0, 0, 0, 0]^T, \quad \varepsilon_{22}(\mathbf{m}) = [0, 0, 0, 0, 0, \frac{1}{h_K}]^T,$$

$$\varepsilon_{12}(\mathbf{m}) = \varepsilon_{21}(\mathbf{m}) = [0, 0, \frac{1}{h_K}, 0, \frac{1}{h_K}, 0]^T,$$

由此获得 G

```

1 E = zeros(6,4); % E = [E11,E12,E21,E22]
2 E(2,1) = 1/hK; E([3,5],[2,3]) = 1/hK; E(6,4) = 1/hK;
3 G = E(:,1)*E(:,1)' + E(:,2)*E(:,2)' + E(:,3)*E(:,3)' + E(:,4)*E(:,4)';
4 G = area(iel)*G;

```

计算可以看到, \mathbf{G} 是 6×6 的矩阵, 它的第 1 行和第 4 行全为零, 而第 3 行和第 5 行相同, 为此可用限制条件的三行分别替换第 1,3,4 行, 所得记为 $\tilde{\mathbf{G}}$.

现计算 \mathbf{B} . 注意向量的内积, 有

$$\begin{aligned} B_{ij} &= \int_{\partial K} (\varepsilon(\mathbf{m}_i) \cdot \mathbf{n}) \cdot \phi_j = \int_{\partial K} \begin{bmatrix} \varepsilon_{11}(\mathbf{m}_i)n_x + \varepsilon_{12}(\mathbf{m}_i)n_y \\ \varepsilon_{21}(\mathbf{m}_i)n_x + \varepsilon_{22}(\mathbf{m}_i)n_y \end{bmatrix} \cdot \begin{bmatrix} \phi_j(1) \\ \phi_j(2) \end{bmatrix} \\ &= \int_{\partial K} (\varepsilon_{11}(\mathbf{m}_i)n_x + \varepsilon_{12}(\mathbf{m}_i)n_y)\phi_j(1) + (\varepsilon_{21}(\mathbf{m}_i)n_x + \varepsilon_{22}(\mathbf{m}_i)n_y)\phi_j(2), \end{aligned}$$

于是

$$\begin{aligned} \mathbf{B}(i,:) &= \int_{\partial K} [(\varepsilon_{11}(\mathbf{m}_i)n_x + \varepsilon_{12}(\mathbf{m}_i)n_y)\phi^T, (\varepsilon_{21}(\mathbf{m}_i)n_x + \varepsilon_{22}(\mathbf{m}_i)n_y)\phi^T], \\ \mathbf{B} &= \int_{\partial K} [(\varepsilon_{11}(\mathbf{m})n_x + \varepsilon_{12}(\mathbf{m})n_y)\phi^T, (\varepsilon_{21}(\mathbf{m})n_x + \varepsilon_{22}(\mathbf{m})n_y)\phi^T]. \end{aligned}$$

对 $k=1$, $\varepsilon_{ij}(\mathbf{m})$ 是常向量, 且上面已经计算出了, 故

$$\mathbf{B} = \begin{bmatrix} \varepsilon_{11}(\mathbf{m}) \int_{\partial K} \phi^T n_x + \varepsilon_{12}(\mathbf{m}) \int_{\partial K} \phi^T n_y, & \varepsilon_{21}(\mathbf{m}) \int_{\partial K} \phi^T n_x + \varepsilon_{22}(\mathbf{m}) \int_{\partial K} \phi^T n_y \end{bmatrix}.$$

注意到 (3.28), 即

$$C_0 = \int_{\partial K} \phi^T \cdot \mathbf{n} ds = \int_{\partial K} [\phi^T \cdot n_x, \phi^T \cdot n_y] ds,$$

从而可获得 \mathbf{B} . 现考虑限制条件的右端 $\sum_{i=1}^{N_v} (\{\mathbf{p}(z_i)\}, \phi^T(z_i))$. 直接计算有

$$(\{\mathbf{p}\}, \phi^T) = \begin{bmatrix} \phi_1 & \cdots & \phi_{N_v} & 0 & \cdots & 0 \\ 0 & \cdots & 0 & \phi_1 & \cdots & \phi_{N_v} \\ -y\phi_1 & \cdots & -y\phi_{N_v} & x\phi_1 & \cdots & x\phi_{N_v} \end{bmatrix}.$$

由基函数的 Kronecker 性质,

$$\sum_{i=1}^{N_v} (\{\mathbf{p}(z_i)\}, \phi^T(z_i)) = \begin{bmatrix} 1 & \cdots & 1 & 0 & \cdots & 0 \\ 0 & \cdots & 0 & 1 & \cdots & 1 \\ -y_1 & \cdots & -y_{N_v} & x_1 & \cdots & x_{N_v} \end{bmatrix},$$

它们要替换 \mathbf{B} 的 1,3,4 行, 从而获得 $\tilde{\mathbf{B}}$.

3.4.3 程序整理

数值结果与位移型差不多, 这里省略. 主程序如下

CODE 21. main_elasticityVEM_tensor.m

```
1 clc;clear;close all
2 tic;
3 % ----- Mesh -----
4 % generated by meshfun.m in tool
5 load meshdata.mat; % rectangle
6 %load meshdataCircle.mat; % circle
7 %figure, showmesh(node,elem);
8 %findnode(node); % findelem(node,elem);
```

```

9
10 % ----- PDE data -----
11 pde = elasticitydata();
12 bdStruct = setboundary(node,elem);
13
14 % ----- Solve the problem -----
15 u = elasticityVEM_tensor(node,elem,pde,bdStruct);
16
17 % ----- error analysis -----
18 u = reshape(u,[],2);
19 uexact = pde.uexact; ue = uexact(node);
20 id = 1;
21 figure,
22 subplot(1,2,1), showsolution(node,elem,u(:,id));
23 xlabel('u');
24 subplot(1,2,2), showsolution(node,elem,ue(:,id));
25 xlabel('ue');
26 Eabs = u-ue; % Absolute errors
27 figure, showsolution(node,elem,Eabs(:,id)); xlim('auto'); xlabel('Err');
28 format shorte
29 Err = norm(Eabs)./norm(ue)
30 toc

```

函数文件如下

CODE 22. elasticityVEM_tensor.m

```

1 function u = elasticityVEM_tensor(node,elem,pde,bdStruct)
2
3 aux = auxgeometry(node,elem);
4 node = aux.node; elem = aux.elem;
5 elemCentroid = aux.elemCentroid; area = aux.area;
6
7 N = size(node,1); NT = size(elem,1);
8 % ----- D,Bs,G,Gs,H0,C0 -----
9 [D,Bs,G,Gs,H0,C0] = VEM_MAT_elasticity_tensor(aux);
10
11 % ----- Elementwise stiffness matrix and load vector -----
12 ABelem = cell(NT,1); belem = cell(NT,1);
13 for iel = 1:NT
14     % Projection
15     Pis = Gs{iel}\Bs{iel}; Pi = D{iel}*Pis; I = eye(size(Pi));
16     PiOs = H0{iel}\C0{iel};
17     % Stiffness matrix
18     AK = Pis'*G{iel}*Pis + (I-Pi)*(I-Pi); AK = 2*pde.mu*AK;
19     BK = pde.lambda*PiOs'*H0{iel}*PiOs;
20     ABelem{iel} = reshape(AK+BK,1,[]); % straighten
21     % Load vector
22     Nv = length(elem{iel});
23     fK = pde.f(elemCentroid(iel,:))*area(iel)/Nv; fK = repmat(fK,Nv,1);
24     belem{iel} = fK(:)'; % straighten

```

```

25 end
26
27 % ----- Assemble the stiffness matrix and load vector -----
28 elemLen = cellfun('length',elem); vertNum = unique(elemLen);
29 nnz = sum(4*elemLen.^2);
30 ii = zeros(nnz,1); jj = zeros(nnz,1); ss = zeros(nnz,1);
31
32 id = 0; ff = zeros(2*N,1);
33 for Nv = vertNum(:)' % only valid for row vector
34
35     % assemble the matrix
36     idNv = find(elemLen == Nv); % find polygons with Nv vertices
37     NTv = length(idNv); % number of elements with Nv vertices
38
39     elemNv = cell2mat(elem(idNv)); % elem
40     K = cell2mat(ABelem(idNv)); F = cell2mat(belem(idNv));
41     s = 1; Ndof = Nv;
42     for i = 1:2*Ndof
43         for j = 1:2*Ndof
44             iN = i>Ndof; jN = j>Ndof;
45             i1 = i-iN*Ndof; j1 = j-jN*Ndof;
46             ii(id+1:id+NTv) = elemNv(:,i1) + iN*N; % zi
47             jj(id+1:id+NTv) = elemNv(:,j1) + jN*N; % zj
48             ss(id+1:id+NTv) = K(:,s);
49             id = id + NTv; s = s+1;
50         end
51     end
52
53     % assemble the vector
54     ff = ff + accumarray([elemNv(:);elemNv(:)+N],F(:),[2*N 1]);
55 end
56 kk = sparse(ii,jj,ss,2*N,2*N);
57
58 % ----- Dirichlet boundary condition -----
59 g_D = pde.g_D; eD = bdStruct.eD;
60 isBdNode = false(N,1); isBdNode(eD) = true;
61 bdNode = find(isBdNode); freeNode = find(~isBdNode);
62 pD = node(bdNode,:);
63 bdDof = [bdNode; bdNode+N]; freeDof = [freeNode;freeNode+N];
64 u = zeros(2*N,1); uD = g_D(pD); u(bdDof) = uD(:);
65 ff = ff - kk*u;
66
67 % ----- Solver -----
68 u(freeDof) = kk(freeDof,freeDof)\ff(freeDof);

```

References

- [1] L. Beirão da Veiga, F. Brezzi, L. D. Marini and A. Russo. The Hitchhiker's Guide to the Virtual Element Method. *Mathematical Models and Methods in Applied Sciences*, 24(8): 1541-1573, 2014.